



**СХЕМА ТЕПЛОСНАБЖЕНИЯ
МУНИЦИПАЛЬНОГО ОБРАЗОВАНИЯ
«ГОРОД КИРОВО-ЧЕПЕЦК» НА ПЕРИОД 2020-2033 ГГ.
(АКТУАЛИЗАЦИЯ НА 2021 ГОД)**

ОБОСНОВЫВАЮЩИЕ МАТЕРИАЛЫ

ГЛАВА 11

ОЦЕНКА НАДЕЖНОСТИ ТЕПЛОСНАБЖЕНИЯ

СОДЕРЖАНИЕ

1. Описание изменений в показателях надежности теплоснабжения за период, предшествующий актуализации схемы теплоснабжения, с учетом введенных в эксплуатацию новых и реконструированных тепловых сетей и сооружений на них	4
2. Обоснование метода и результатов обработки данных по отказам участков тепловых сетей (аварийным ситуациям), средней частоты отказов участков тепловых сетей (аварийных ситуаций) в каждой системе теплоснабжения.....	4
3. Обоснование метода и результатов обработки данных по восстановлению отказавших участков тепловых сетей (участков тепловых сетей, на которых произошли аварийные ситуации), среднего времени восстановления отказавших участков тепловых сетей в каждой системе теплоснабжения.....	6
4. Обоснование результатов оценки вероятности отказа (аварийной ситуации) и безотказной (безаварийной) работы системы теплоснабжения по отношению к потребителям, присоединенным к магистральным и распределительным теплопроводам.....	7
4.1. ТЭЦ-3	13
4.1.1. Западная часть	13
4.1.2. Северная часть.....	17
4.1.3. Пригородный	20
4.1.4. Водозабор.....	23
4.1.5. Центральная часть.....	27
4.1.6. 10 микрорайон	32
4.2. Котельная Каринторф	36
4.3. Котельная ИК-11	39
5. Обоснование результатов оценки коэффициентов готовности теплопроводов к несению тепловой нагрузки	42
6. Обоснование результатов оценки недоотпуска тепловой энергии по причине отказов (аварийных ситуаций) и простоев тепловых сетей и источников тепловой энергии	42
7. Предложения, обеспечивающие надежность систем теплоснабжения.....	42
7.1. Применение на источниках тепловой энергии рациональных тепловых схем с дублированными связями и новых технологий, обеспечивающих готовность энергетического оборудования.....	42
7.2. Установка резервного оборудования.....	43
7.3. Организация совместной работы нескольких источников тепловой энергии на единую тепловую сеть.....	43
7.4. Резервирование тепловых сетей смежных районов городского округа.....	43
7.5. Устройство резервных насосных станций	44
7.6. Установка баков-аккумуляторов	44

РЕЕСТР ТАБЛИЦ

Таблица 1 - Сведения об отказах на тепловых сетях города, в разрезе источников тепловой энергии	5
Таблица 2 – Среднее время, затраченное на восстановление теплоснабжения потребителей после аварийных отключений.....	7
Таблица 3 - Результаты расчета вероятности безотказной работы теплопроводов зоны ТЭЦ №3 (западная часть) единой теплоснабжающей организацией №01, при поэтапной реконструкции участков тепловой сети, осуществляющейся за период до 2033 года (таблица П46.1 МУ).....	14
Таблица 4 - Результаты расчета вероятности безотказной работы теплопроводов зоны ТЭЦ №3 (северная часть) единой теплоснабжающей организацией №01, при поэтапной реконструкции участков тепловой сети, осуществляющейся за период до 2033 года (таблица П46.1 МУ).....	18
Таблица 5 - Результаты расчета вероятности безотказной работы теплопроводов зоны ТЭЦ №3 (Пригородный) единой теплоснабжающей организацией №01, при поэтапной реконструкции участков тепловой сети, осуществляющейся за период до 2033 года (таблица П46.1 МУ).....	21

Таблица 6 - Результаты расчета вероятности безотказной работы теплопроводов зоны ТЭЦ №3(водозабор)		
единой теплоснабжающей организации №01, при поэтапной реконструкции участков тепловой сети,		
осуществляемой за период до 2033 года (таблица П46.1 МУ).....	24	
Таблица 7 - Результаты расчета вероятности безотказной работы теплопроводов зоны ТЭЦ №3 (центральная		
часть) единой теплоснабжающей организации №01, при поэтапной реконструкции участков тепловой сети,		
осуществляемой за период до 2033 года (таблица П46.1 МУ).....	28	
Таблица 8 - Результаты расчета вероятности безотказной работы теплопроводов зоны ТЭЦ №3(10 микрорайон)		
единой теплоснабжающей организации №01, при поэтапной реконструкции участков тепловой сети,		
осуществляемой за период до 2033 года (таблица П46.1 МУ).....	33	
Таблица 9 - Результаты расчета вероятности безотказной работы теплопроводов зоны котельной Каринторф		
единой теплоснабжающей организации №02, при поэтапной реконструкции участков тепловой сети,		
осуществляемой за период до 2033 года (таблица П46.1 МУ).....	37	
Таблица 10 - Результаты расчета вероятности безотказной работы теплопроводов зоны котельной ИК-11		
единой теплоснабжающей организации №03, при поэтапной реконструкции участков тепловой сети,		
осуществляемой за период до 2033 года (таблица П46.1 МУ).....	40	
Таблица 11 – Ожидаемая динамика изменения показателя при условии реализации мероприятий учтенных		
инвестиционной программой регулируемых организаций	42	

РЕЕСТР РИСУНКОВ

Рисунок 1 – Соотношение числа отказов	6
Рисунок 2 – Интенсивность отказов в зависимости от срока эксплуатации участка тепловой сети	10
Рисунок 3 – Путь движения теплоносителя от источника тепловой энергии до конечного потребителя, в зоне действия ТЭЦ №3 (рисунок П46.1 МУ).....	13
Рисунок 4 – Сравнительный анализ нормативной и фактической ВБР по пути движения теплоносителя, в зоне действия ТЭЦ №3 (западная часть) (рисунок П46.2 МУ)	16
Рисунок 5 – Путь движения теплоносителя от источника тепловой энергии до конечного потребителя, в зоне действия котельной ТЭЦ №3 (северная часть) (рисунок П46.1 МУ)	17
Рисунок 6 – Сравнительный анализ нормативной и фактической ВБР по пути движения теплоносителя, в зоне действия ТЭЦ №3 (северная часть) (рисунок П46.2 МУ)	19
Рисунок 7 – Путь движения теплоносителя от источника тепловой энергии до конечного потребителя, в зоне действия котельной ТЭЦ №3 (Пригородный) (рисунок П46.1 МУ)	20
Рисунок 8 – Сравнительный анализ нормативной и фактической ВБР по пути движения теплоносителя, в зоне действия ТЭЦ №3 (Пригородный) (рисунок П46.2 МУ)	22
Рисунок 9 – Путь движения теплоносителя от источника тепловой энергии до конечного потребителя, в зоне действия ТЭЦ №3 (водозабор) (рисунок П46.1 МУ).....	23
Рисунок 10 – Сравнительный анализ нормативной и фактической ВБР по пути движения теплоносителя, в зоне действия ТЭЦ №3 (водозабор) (рисунок П46.2 МУ).....	26
Рисунок 11 – Путь движения теплоносителя от источника тепловой энергии до конечного потребителя, в зоне действия ТЭЦ №3 (центральная часть) (рисунок П46.1 МУ).....	27
Рисунок 12 – Сравнительный анализ нормативной и фактической ВБР по пути движения теплоносителя, в зоне действия ТЭЦ №3 (центральная часть) (рисунок П46.2 МУ).....	31
Рисунок 13 – Путь движения теплоносителя от источника тепловой энергии до конечного потребителя, в зоне действия ТЭЦ №3 (в сторону 10 микрорайона) (рисунок П46.1 МУ).....	32
Рисунок 14 – Сравнительный анализ нормативной и фактической ВБР по пути движения теплоносителя, в зоне действия ТЭЦ №3 (10 микрорайон) (рисунок П46.2 МУ).....	35
Рисунок 15 – Путь движения теплоносителя от источника тепловой энергии до конечного потребителя, в зоне действия котельной Каринторф (рисунок П46.1 МУ).....	36
Рисунок 16 – Сравнительный анализ нормативной и фактической ВБР по пути движения теплоносителя, в зоне действия котельной Каринторф (рисунок П46.2 МУ).....	38
Рисунок 17 – Путь движения теплоносителя от источника тепловой энергии до конечного потребителя, в зоне действия котельной ИК-11 (рисунок П46.1 МУ)	39
Рисунок 18 – Сравнительный анализ нормативной и фактической ВБР по пути движения теплоносителя, в зоне действия котельной ИК-11 (рисунок П46.2 МУ)	41

1. Описание изменений в показателях надежности теплоснабжения за период, предшествующий актуализации схемы теплоснабжения, с учетом введенных в эксплуатацию новых и реконструированных тепловых сетей и сооружений на них

Глава впервые разработана с учетом Методических указаний по разработке схем теплоснабжения, утвержденных Приказом Министерства энергетики РФ 05.03.2019 г. №212 (далее по тексту – МУ).

2. Обоснование метода и результатов обработки данных по отказам участков тепловых сетей (аварийным ситуациям), средней частоты отказов участков тепловых сетей (аварийных ситуаций) в каждой системе теплоснабжения

Оценка надежности теплоснабжения по существующему положению представлена в разделе 9 Главы 1.

Для оценки надежности теплоснабжения, с точки зрения численности отказов на участках тепловых сетей, применен количественный метод анализа. Данный метод направлен на выявление динамики изменения частоты отказов (аварий) на составных элементах тепловой сети (шт.).

В таблице ниже представлен поток отказов (частота отказов) на тепловых сетях города, в разрезе источников централизованного теплоснабжения, а также рассчитана удельная повреждаемость.

Как видно из рисунка ниже, за последние 3 года прослеживается динамика увеличения числа отказов в системах теплоснабжения. Однако наибольшая часть из них приходится на гидравлические испытания.



Рисунок 1 – Соотношение числа отказов

3. Обоснование метода и результатов обработки данных по восстановлениям отказавших участков тепловых сетей (участков тепловых сетей, на которых произошли аварийные ситуации), среднего времени восстановления отказавших участков тепловых сетей в каждой системе теплоснабжения

По категории отключений потребителей, инциденты на тепловых сетях классифицируются на:

- отказы (инциденты, которые не считаются авариями);
- аварии.

В соответствии с п. 2.10 Методических рекомендаций по техническому расследованию и учету технологических нарушений в системах коммунального энергоснабжения и работе энергетических организаций жилищно-коммунального комплекса МДК 4-01.2001:

«2.10. Авариями в тепловых сетях считаются:

2.10.1. Разрушение (повреждение) зданий, сооружений, трубопроводов тепловой сети в период отопительного сезона при отрицательной среднесуточной температуре наружного воздуха, восстановление работоспособности которых продолжается более 36 часов».

Как показал статистический анализ инцидентов на тепловых сетях, в городе за 2015-2019 гг. аварийных ситуаций не возникало. Происходили только отказы.

Время, затраченное на восстановление теплоснабжения потребителей после аварийных отключений, в значительной степени зависит от следующих факторов: диаметр трубопровода, тип прокладки, объем дренирования и заполнения тепловой сети, а также времени, затраченного на согласование раскопок с собственниками смежных коммуникаций.

Среднее время, затраченное на восстановление теплоснабжения потребителей после аварийных отключений в отопительный период, зависит от характеристик трубопровода отключаемой теплосети. Нормативный перерыв теплоснабжения (с момента обнаружения, идентификации дефекта и подготовки рабочего места, включающего в себя установление точного места повреждения (со вскрытием канала) и начала операций по локализации поврежденного трубопровода). Указанные нормативы регламентированы п. 6.10 СП 124.13330.2012 Тепловые сети. Актуализированная редакция СНиП 41-02-2003 и представлены в таблице ниже.

Таблица 2 – Среднее время, затраченное на восстановление теплоснабжения потребителей после аварийных отключений

Диаметр труб тепловых сетей, мм	Время восстановления теплоснабжения, ч
300	15
400	18
500	22
600	26
700	29
800-1000	40
1200-1400	до 54

В целом по городу время восстановления работоспособности тепловых сетей соответствует установленным нормативам, что отражено в таблицах ниже.

4. Обоснование результатов оценки вероятности отказа (аварийной ситуации) и безотказной (безаварийной) работы системы теплоснабжения по отношению к потребителям, присоединенным к магистральным и распределительным теплопроводам

Методика оценки надежности теплоснабжения представлена в Приложении 18 МУ.

В соответствии с п. 6.25 СП 124.13330.2012 «Тепловые сети»:

«способность проектируемых и действующих источников теплоты, тепловых сетей и в целом СЦТ обеспечивать в течение заданного времени требуемые режимы, параметры и качество теплоснабжения (отопления, вентиляции, горячего водоснабжения, а также технологических потребностей предприятий в паре и горячей воде) следует определять по трем показателям (критериям): вероятности безотказной работы [P], коэффициенту готовности [K_г], живучести [Ж]».

Методика Приложения 18 МУ внедрена в ZuluThermo, посредством модуля расчета надежности.

В соответствии с п. 6.26 СП 124.13330.2012 «Тепловые сети» расчет надежности теплоснабжения должен производиться для каждого потребителя, при этом минимально допустимые показатели вероятности безотказной работы следует принимать для:

- источника теплоты $P_{ит} = 0,97$;
- тепловых сетей $P_{тс} = 0,9$;
- потребителя теплоты $P_{пт} = 0,99$;
- системы СЦТ в целом $P_{спт} = 0,9 \cdot 0,97 \cdot 0,99 = 0,86$.

Расчет вероятности безотказной работы тепловой сети по отношению к каждому потребителю осуществляется по следующему алгоритму:

1. Определяется путь передачи теплоносителя от источника до потребителя, по отношению к которому выполняется расчет вероятности безотказной работы тепловой сети.

2. На первом этапе расчета устанавливается перечень участков теплопроводов, составляющих этот путь.

3. Для каждого участка тепловой сети устанавливаются: год ввода в эксплуатацию, диаметр и протяженность.

4. На основе обработки данных по отказам и восстановлениям (времени, затраченном на ремонт участка) всех участков тепловых сетей за несколько лет их работы устанавливаются следующие зависимости:

λ_0 - средневзвешенная частота (интенсивность) устойчивых отказов участков в конкретной системе теплоснабжения при продолжительности эксплуатации участков от 3 до 17 лет (1/км/год);

- средневзвешенная частота (интенсивность) отказов для участков тепловой сети с продолжительностью эксплуатации от 1 до 3 лет;
- средневзвешенная частота (интенсивность) отказов для участков тепловой сети с продолжительностью эксплуатации от 17 и более лет;
- средневзвешенная продолжительность ремонта (восстановления) участков тепловой сети;
- средневзвешенная продолжительность ремонта (восстановления) участков тепловой сети в зависимости от диаметра участка.

Частота (интенсивность) отказов (в соответствии с ГОСТ 27.002-09 «Надежность в технике») каждого участка тепловой сети измеряется с помощью показателя λ_i , который имеет размерность [1/км/год] или [1/км/час]. Интенсивность отказов всей тепловой сети (без резервирования) по отношению к потребителю представляется как последовательное (в смысле надежности) соединение элементов, при котором отказ одного из всей совокупности элементов приводит к отказу всей системы в целом. Средняя вероятность безотказной работы системы, состоящей из последовательно

соединенных элементов, будет равна произведению вероятностей безотказной работы:

$$P_c = \prod_{i=1}^{i=N} P_i = e^{-\lambda_1 L_1 t} \times e^{-\lambda_2 L_2 t} \times \dots \times e^{-\lambda_n L_n t} = e^{-t \times \sum_{i=1}^{i=N} \lambda_i L_i} = e^{\lambda_c t}, \quad (1.1.)$$

Интенсивность отказов всего последовательного соединения равна сумме интенсивностей отказов на каждом участке $\lambda_c = L_1 \lambda_1 + L_2 \lambda_2 + \dots + L_n \lambda_n$, [1/час], где L_i -протяженность каждого участка, [км]. И, таким образом, чем выше значение интенсивности отказов системы, тем меньше вероятность безотказной работы. Параметр времени в этих выражениях всегда равен одному отопительному периоду, т.е. значение вероятности безотказной работы вычисляется как некоторая вероятность в конце каждого рабочего цикла (перед следующим ремонтным периодом).

Интенсивность отказов каждого конкретного участка может быть разной, но самое главное, она зависит от времени эксплуатации участка. В нашей практике для описания параметрической зависимости интенсивности отказов мы применяется зависимость от срока эксплуатации, следующего вида, близкая по характеру к распределению Вейбулла:

$$\lambda(t) = \lambda_0 (0,1 \tau)^{\alpha-1}, \quad (1.2.)$$

где τ - срок эксплуатации участка [лет].

Характер изменения интенсивности отказов зависит от параметра α : при $\alpha < 1$, она монотонно убывает, при $\alpha > 1$ - возрастает; при $\alpha = 1$ функция принимает вид $\lambda(t) = \lambda_0 = Const$. А λ_0 - это средневзвешенная частота (интенсивность) устойчивых отказов в конкретной системе теплоснабжения.

Обработка значительного количества данных по отказам, позволяет использовать следующую зависимость для параметра формы интенсивности отказов:

$$\alpha = \begin{cases} 0,8 \cdot pri \cdot 0 < \tau \leq 3 \\ 1 \cdot pri \cdot 3 < \tau \leq 17 \\ 0,5 \times e^{(\tau/20)} \cdot pri \cdot \tau > 17 \end{cases} \quad (1.3)$$

На рисунке ниже приведен вид зависимости интенсивности отказов от срока эксплуатации участка тепловой сети. При ее использовании следует помнить о некоторых допущениях, которые были сделаны при отборе данных:

- она применима только тогда, когда в тепловых сетях существует четкое разделение на эксплуатационный и ремонтный периоды;
- в ремонтный период выполняются гидравлические испытания тепловой сети после каждого отказа.

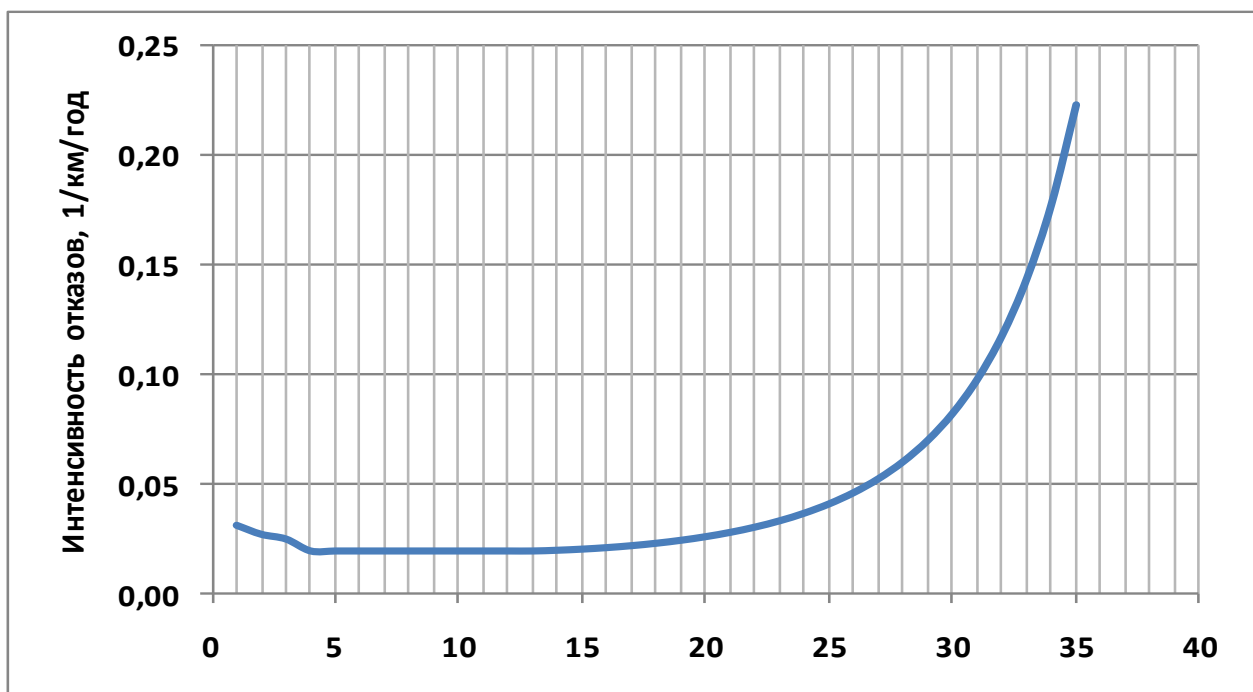


Рисунок 2 – Интенсивность отказов в зависимости от срока эксплуатации участка тепловой сети

5. По данным региональных справочников по климату о среднесуточных температурах наружного воздуха за последние десять лет строят зависимость повторяемости температур наружного воздуха (график продолжительности тепловой нагрузки отопления).

6. С использованием данных о теплоаккумулирующей способности абонентских установок определяют время, за которое температура внутри отапливаемого помещения снизится до температуры, установленной в критериях отказа теплоснабжения. Отказ теплоснабжения потребителя – событие, приводящее к падению температуры в отапливаемых помещениях жилых и общественных зданий ниже +12°C, в промышленных зданиях ниже +8°C (СП 124.13330.2012 «Тепловые сети»). Например, для расчета времени снижения температуры в жилом здании используют формулу:

$$t_e = t_h + \frac{Q_o}{q_o V} + \frac{t'_e - t_h - \frac{Q_o}{q_o V}}{\exp(z/\beta)}, \quad (1.4)$$

где

- внутренняя температура, которая устанавливается в помещении через время z в часах, после наступления исходного события, °C;
- время, отсчитываемое после начала исходного события, ч;
- температура в отапливаемом помещении, которая была в момент начала исходного события, °C;
- температура наружного воздуха, усредненная на периоде времени z, °C;

- подача теплоты в помещение, Дж/ч;
- удельные расчетные тепловые потери здания, Дж/(ч·°C);
- коэффициент аккумуляции помещения (здания), ч.

Для расчета времени снижения температуры в жилом здании до +12°C при внезапном прекращении теплоснабжения эта формула при $\left(\frac{Q_o}{q_o V} = 0 \right)$ имеет следующий вид:

$$z = \beta \times \ln \frac{(t_{\text{e}} - t_{\text{h}})}{(t_{\text{e},a} - t_{\text{h}})}, \quad (1.5)$$

где t_{e} — внутренняя температура, которая устанавливается критерием отказа теплоснабжения (+12°C для жилых зданий);

7. На основе данных о частоте (потоке) отказов участков тепловой сети, повторяемости температур наружного воздуха и данных о времени восстановления (ремонта) элемента (участка, НС, компенсатора и т.д.) тепловых сетей определяют вероятность отказа теплоснабжения потребителя. В случае отсутствия достоверных данных о времени восстановления теплоснабжения потребителей используют эмпириическую зависимость для времени, необходимого для ликвидации повреждения, предложенную Е.Я. Соколовым:

$$z_p = a \left[1 + (b + cl_{c,z}) D^{1.2} \right], \quad (1.6)$$

где

a, b, c — постоянные коэффициенты, зависящие от способа укладки теплопровода (подземный, надземный) и его конструкции, а также от способа диагностики места повреждения и уровня организации ремонтных работ

$l_{c,z}$ — расстояние между секционирующими задвижками, м;

D — условный диаметр трубопровода, м.

Расчет выполняется для каждого участка и/или элемента, входящего в путь от источника до абонента:

- по каждой градации повторяемости температур с использованием уравнения 1.4 вычисляется допустимое время проведения ремонта;
- вычисляется относительная и накопленная частота событий, при которых время снижения температуры до критических значений меньше чем время ремонта повреждения;

➤ вычисляются относительные доли (см. уравнение 1.7) и поток отказов (см. уравнение 1.8) участка тепловой сети, способный привести к снижению температуры в отапливаемом помещении до температуры в +12°C:

$$\bar{z} = \left(1 - \frac{z_{i,j}}{z_p}\right) \times \frac{\tau_j}{\tau_{on}} \quad (1.7)$$

$$\bar{\omega}_i = \lambda_i L_i \times \sum_{j=1}^{j=N} \bar{z}_{i,j}, \quad (1.8)$$

➤ вычисляется вероятность безотказной работы участка тепловой сети относительно абонента:

$$p_i = \exp(-\bar{\omega}_i) \quad (1.9)$$

4.1. ТЭЦ-3

4.1.1. Западная часть

Результаты расчета показателей надежности теплоснабжения, сформированные в соответствии с Приложением 46 МУ, по методике расчета, изложенной в Приложении 18 МУ, представлены на рисунках и в таблице ниже.



Рисунок 3 – Путь движения теплоносителя от источника тепловой энергии до конечного потребителя, в зоне действия ТЭЦ №3 (рисунок П46.1 МУ)

Номер участка пути	Начальная камера участка	Конечная камера участка	Диаметр трубопровода на участке, м	Длина трубопровода на участке, км	Год прокладки трубопровода	Тип прокладки (1-надземная; 2-подземная)	Продолжительность эксплуатации участка без капитального ремонта (реконструкции), лет	Частота (интенсивность) отказа участка, 1/час	Среднее время восстановления участка, час	Параметр потока отказов теплоснабжения при отказе участка, 1/час	Параметр потока отказов теплоснабжения накопленным итогом, 1/час	Вероятность безотказной работы пути относительно конечного потребителя
34	TK-1	З/а в ТК-1 Отп.к Тк 6	0,125	0,002	1970	2	63	0,0000226	7,9	0	0,0001293	0,9972526
35	З/а в ТК-1 Отп.к Тк 6	TK-6	0,125	0,091	1970	2	63	0,0000226	7,9	0,0000021	0,0001314	0,997237
36	TK-6	З/а в ТК-6 Секц.к Тк 8	0,125	0,002	1970	2	63	0,0000226	7,8	0	0,0001314	0,9972367
37	З/а в ТК-6 Секц.к Тк 8	Уз. ПМК-8	0,125	0,044	1970	2	63	0,0000226	7,9	0,000001	0,0001324	0,9972292
38	Уз. ПМК-8	TK-8	0,125	0,075	1970	2	63	0,0000226	7,9	0,0000017	0,0001341	0,9972165
39	TK-8	З/а в ТК-8 Отп.к тёпл ст ПМК	0,1	0,002	1969	2	64	0,0000226	6,7	0	0,0001341	0,9972163
40	З/а в ТК-8 Отп.к тёпл ст ПМК	Уз. 2 ПМК-9	0,1	0,066	1969	2	64	0,0000226	6,7	0,0000015	0,0001356	0,9972067
41	Уз. 2 ПМК-9	З/а ПМК-9 Секц.к Мелиор22	0,05	0,002	1969	2	64	0,0000226	4,6	0	0,0001356	0,9972065
42	З/а ПМК-9 Секц.к Мелиор22	Уз. ПМК-11	0,05	0,099	1969	2	64	0,0000226	4,6	0,0000022	0,0001378	0,9971967
43	Уз. ПМК-11	Уз. ПМК-11	0,05	0,018	1969	1	64	0	0,0	0	0,0001378	0,9971967

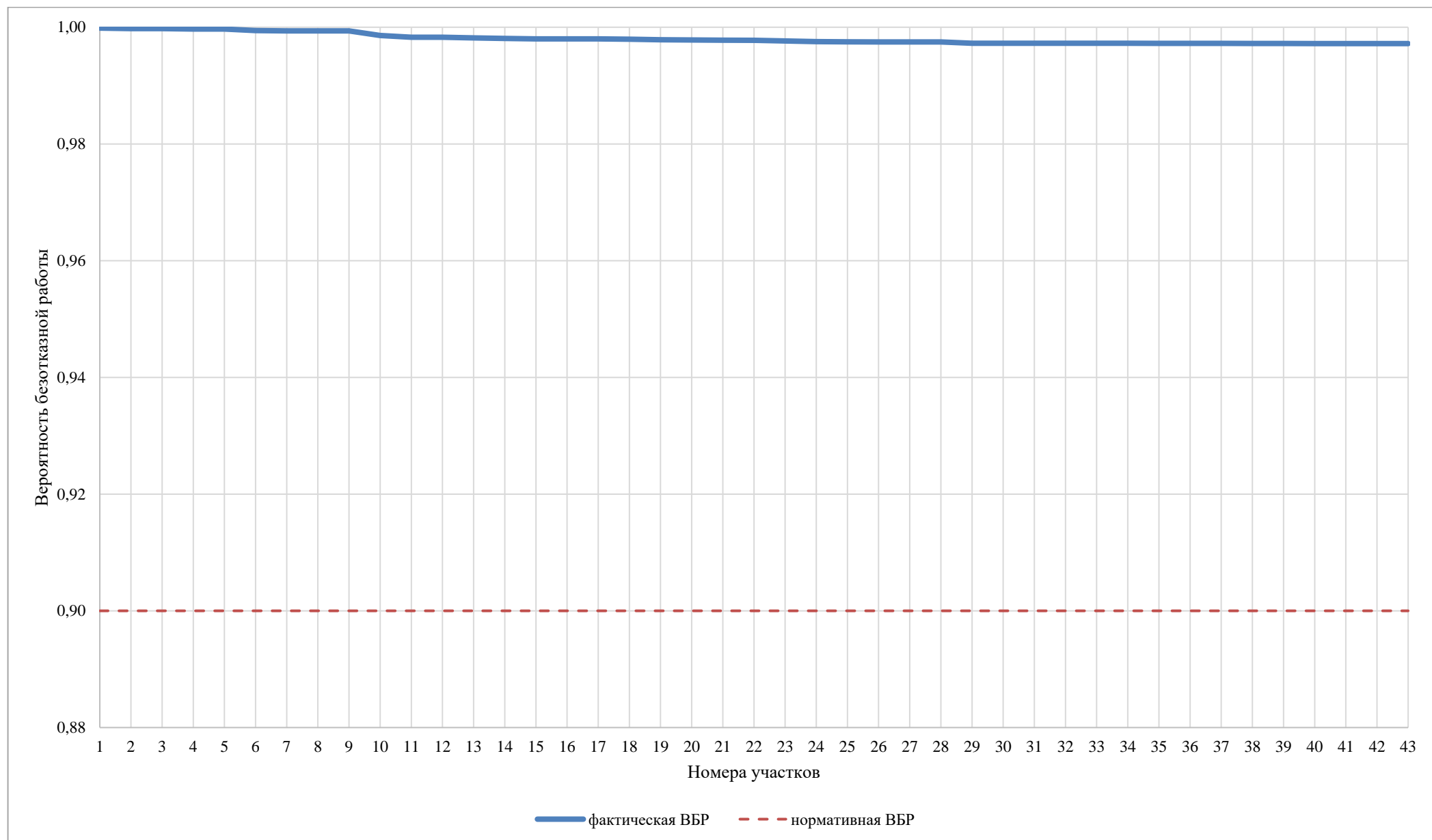


Рисунок 4 – Сравнительный анализ нормативной и фактической ВБР по пути движения теплоносителя, в зоне действия ТЭЦ №3 (западная часть) (рисунок П46.2 МУ)

4.1.2. Северная часть

Результаты расчета показателей надежности теплоснабжения, сформированные в соответствии с Приложением 46 МУ, по методике расчета, изложенной в Приложении 18 МУ, представлены на рисунках и в таблице ниже.

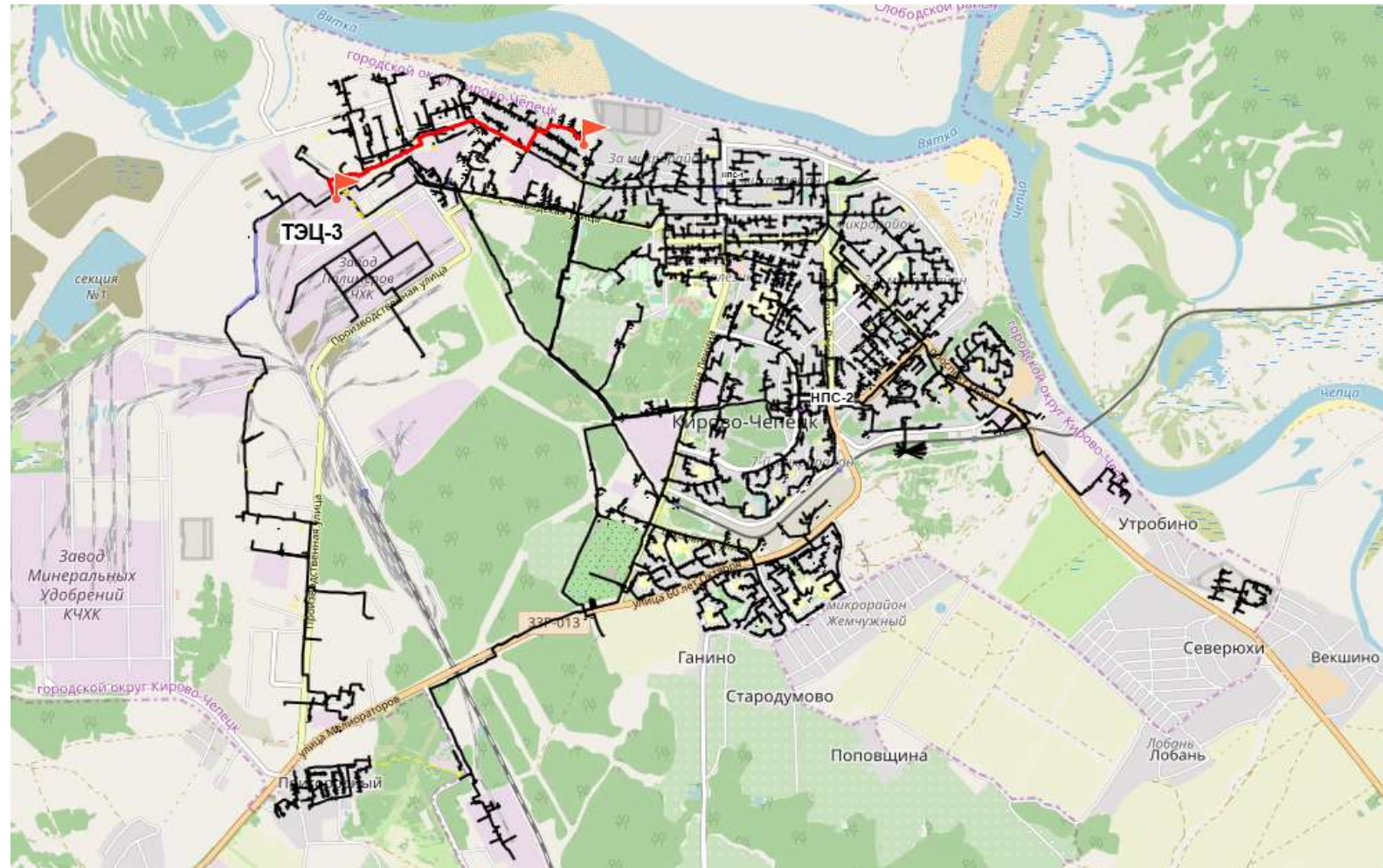


Рисунок 5 – Путь движения теплоносителя от источника тепловой энергии до конечного потребителя, в зоне действия котельной ТЭЦ №3 (северная часть) (рисунок П46.1 МУ)

Таблица 4 - Результаты расчета вероятности безотказной работы теплопроводов зоны ТЭЦ №3 (северная часть) единой теплоснабжающей организации №01, при поэтапной реконструкции участков тепловой сети, осуществляемой за период до 2033 года (таблица П46.1 МУ)

Номер участка пути	Начальная камера участка	Конечная камера участка	Диаметр трубопровода на участке, м	Длина трубопровода на участке, км	Год прокладки трубопровода	Тип прокладки (1-надземная; 2-подземная)	Продолжительность эксплуатации участка без капитального ремонта (реконструкции), лет	Частота (интенсивность) отказа участка, 1/час	Среднее время восстановления участка, час	Параметр потока отказов теплоснабжения при отказе участка, 1/час	Параметр потока отказов теплоснабжения накопленным итогом, 1/час	Вероятность безотказной работы пути относительно конечного потребителя
1	ТЭЦ	Уз. 6НО-7	0,6	0,408	1961	1	72	0,0000226	28,1	0,0000092	0,0000092	0,999752
2	Уз. 6НО-7	Уз. 6НО-10	0,6	0,2504	1961	1	72	0,0000226	28,1	0,0000057	0,0000149	0,999599
3	Уз. 6НО-10	Уз. 6НО-13	0,6	0,2556	1961	1	72	0,0000226	28,1	0,0000058	0,0000207	0,999444
4	Уз. 6НО-13	Уз. 6НО-14	0,6	0,098	1961	1	72	0,0000226	28,1	0,0000022	0,0000229	0,999384
5	Уз. 6НО-14	TK 6-01	0,6	0,002	1961	2	72	0,0000226	28,1	0	0,0000229	0,999383
6	TK 6-01	TK-2М	0,6	0,007	1961	1	72	0,0000226	28,1	0,0000002	0,0000231	0,999378
7	TK-2М	TK 2M'	0,6	0,03594	1961	2	72	0,0000226	28,1	0,0000008	0,0000239	0,999357
8	TK 2M'	TK 6-02	0,6	0,203	1961	1	72	0,0000226	28,1	0,0000046	0,0000285	0,999233
9	TK 6-02	Уз. от TK 6-02 перех.	0,6	0,007	1961	1	72	0,0000226	28,1	0,0000002	0,0000287	0,999229
10	Уз. от TK 6-02 перех.	Уз. от TK 6-02 перех.	0,6	0,0228	1961	2	72	0,0000226	28,1	0,0000005	0,0000292	0,999215
11	Уз. от TK 6-02 перех.	Уз. 6НО-23	0,6	0,3464	1961	1	72	0,0000226	28,1	0,0000078	0,000037	0,999004
12	Уз. 6НО-23	TK 6-03	0,6	0,1888	1961	1	72	0,0000226	28,1	0,0000043	0,0000413	0,998889
13	TK 6-03	TK 6-03	0,6	0,0215	1961	2	72	0,0000226	28,1	0,0000005	0,0000418	0,998876
14	TK 6-03	TK 6-04	0,6	0,0905	1961	2	72	0,0000226	28,1	0,000002	0,0000438	0,998821
15	TK 6-04	TK 6-04 - подпорн.стенка	0,6	0,0135	1961	2	72	0,0000226	28,1	0,0000003	0,0000441	0,998813
16	TK 6-04 - подпорн.стенка	Уз. 6НО-28	0,6	0,183	1961	1	72	0,0000226	28,1	0,0000041	0,0000482	0,998701
17	Уз. 6НО-28	З/а от Уз.6НО-28	0,1	0,00092	1977	1	56	0,0000226	6,6	0	0,0000482	0,998701
18	З/а от Уз.6НО-28	Уз. Свободы 41а	0,1	0,30965	1977	1	56	0,0000226	6,6	0,000007	0,0000552	0,998656
19	Уз. Свободы 41а	Уз. г/к Д	0,069	0,01944	1977	1	56	0,0000226	5,4	0,0000004	0,0000556	0,998654
20	Уз. г/к Д	Уз. г/к Д.	0,07	0,06895	1977	1	56	0,0000226	5,4	0,0000016	0,0000572	0,998646
21	Уз. г/к Д.	Уз. г/к Д-11	0,07	0,08152	1978	1	55	0,0000226	5,4	0,0000018	0,000059	0,998637
22	Уз. г/к Д-11	Уз. г/к Д-4а	0,05	0,0593	1978	1	55	0,0000226	4,5	0,0000013	0,0000603	0,998631
23	Уз. г/к Д-4а	Уз. г/к Д-4б	0,05	0,02192	1978	1	55	0,0000226	4,5	0,0000005	0,0000608	0,998629
24	Уз. г/к Д-4б	Уз. г/к Д-13	0,05	0,0511	1978	1	55	0,0000226	4,5	0,0000012	0,000062	0,998624
25	Уз. г/к Д-13	гаражный кооператив	0,04	0,02233	1978	1	55	0,0000226	4,2	0,0000005	0,0000625	0,998622

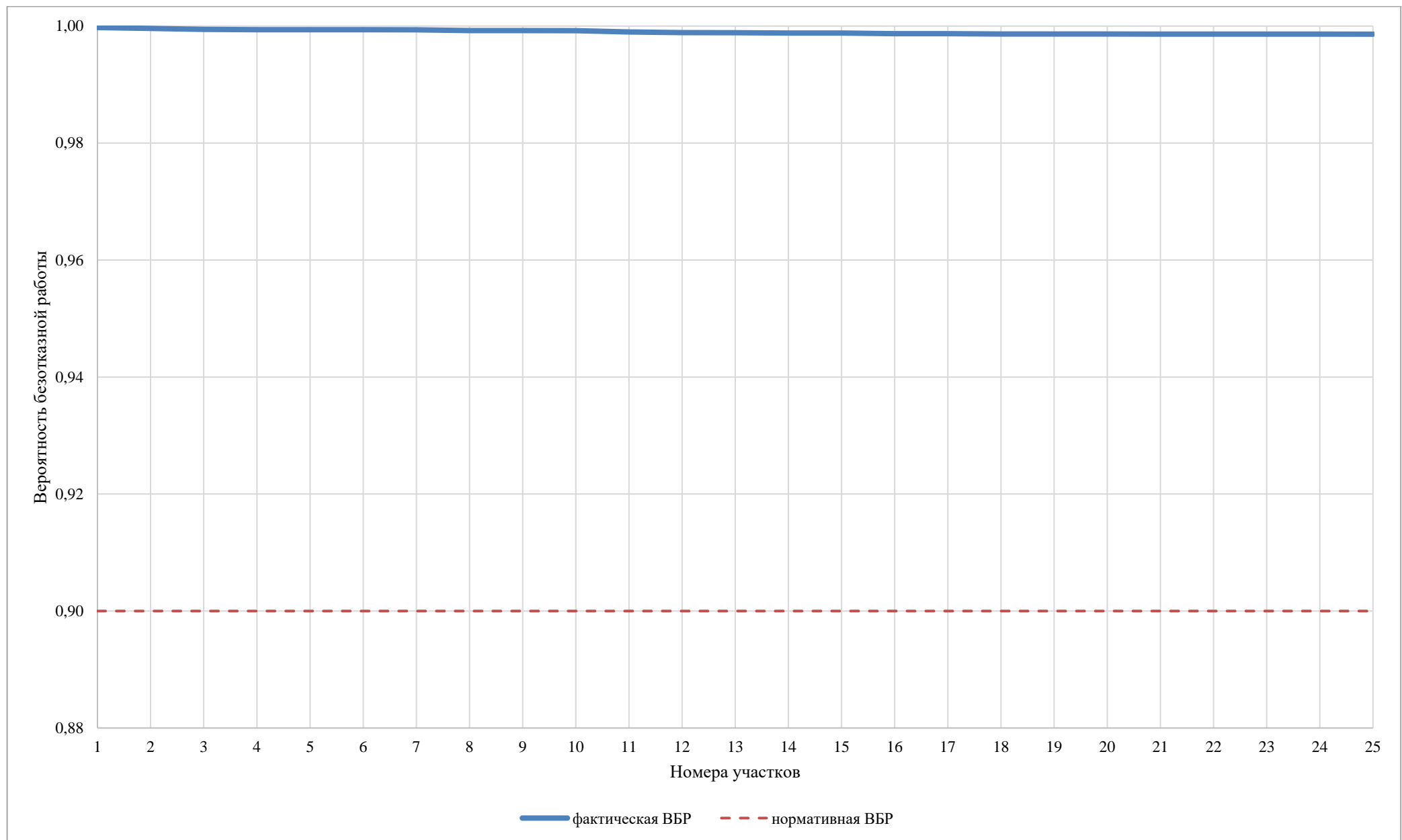


Рисунок 6 – Сравнительный анализ нормативной и фактической ВБР по пути движения теплоносителя, в зоне действия ТЭЦ №3 (северная часть) (рисунок П46.2 МУ)

4.1.3. Пригородный

Результаты расчета показателей надежности теплоснабжения, сформированные в соответствии с Приложением 46 МУ, по методике расчета, изложенной в Приложении 18 МУ, представлены на рисунках и в таблице ниже.



Рисунок 7 – Путь движения теплоносителя от источника тепловой энергии до конечного потребителя, в зоне действия котельной ТЭЦ №3
(Пригородный) (рисунок П46.1 МУ)

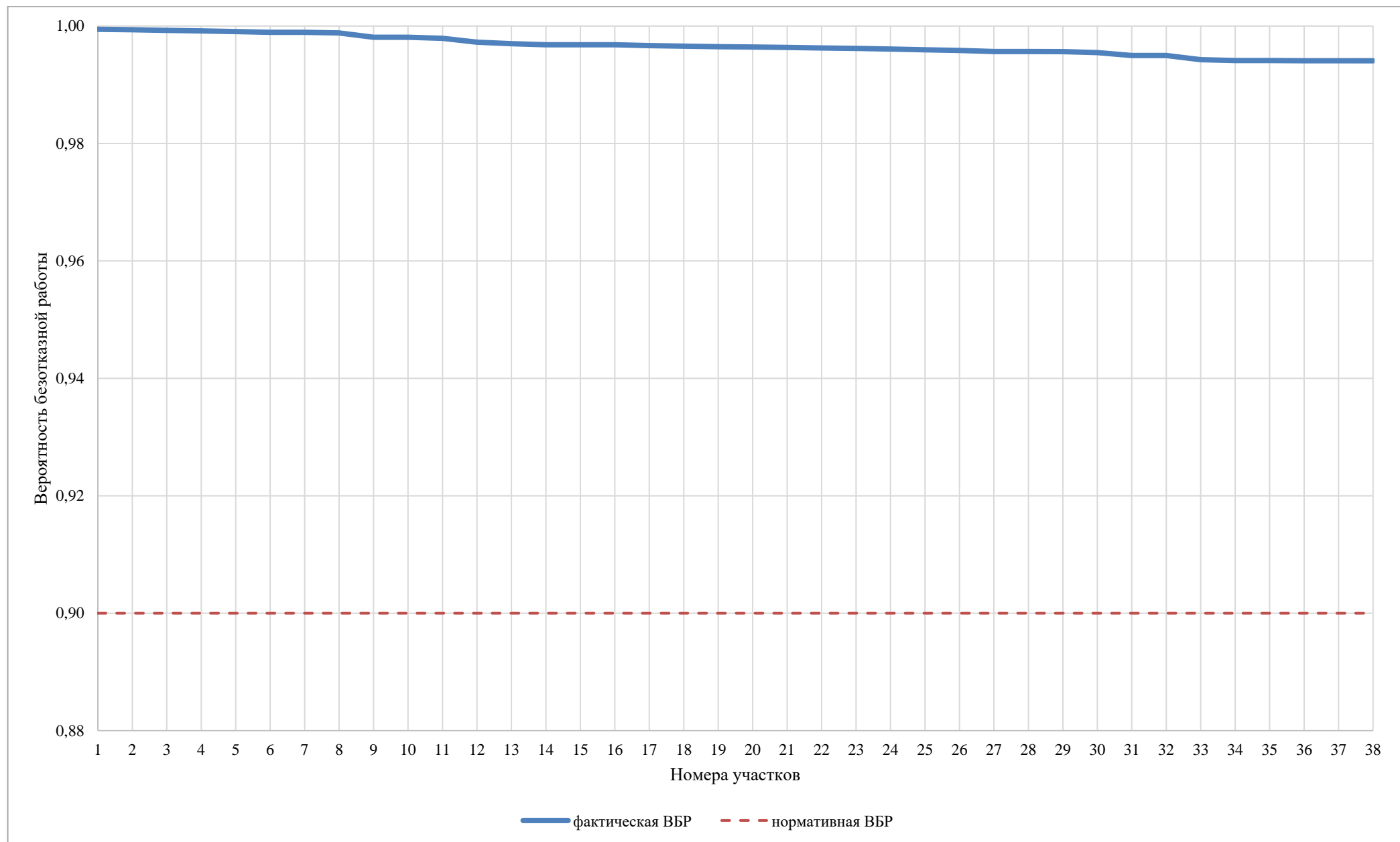


Рисунок 8 – Сравнительный анализ нормативной и фактической ВБР по пути движения теплоносителя, в зоне действия ТЭЦ №3
(Пригородный) (рисунок П46.2 МУ)

4.1.4. Водозабор

Результаты расчета показателей надежности теплоснабжения, сформированные в соответствии с Приложением 46 МУ, по методике расчета, изложенной в Приложении 18 МУ, представлены на рисунках и в таблице ниже.

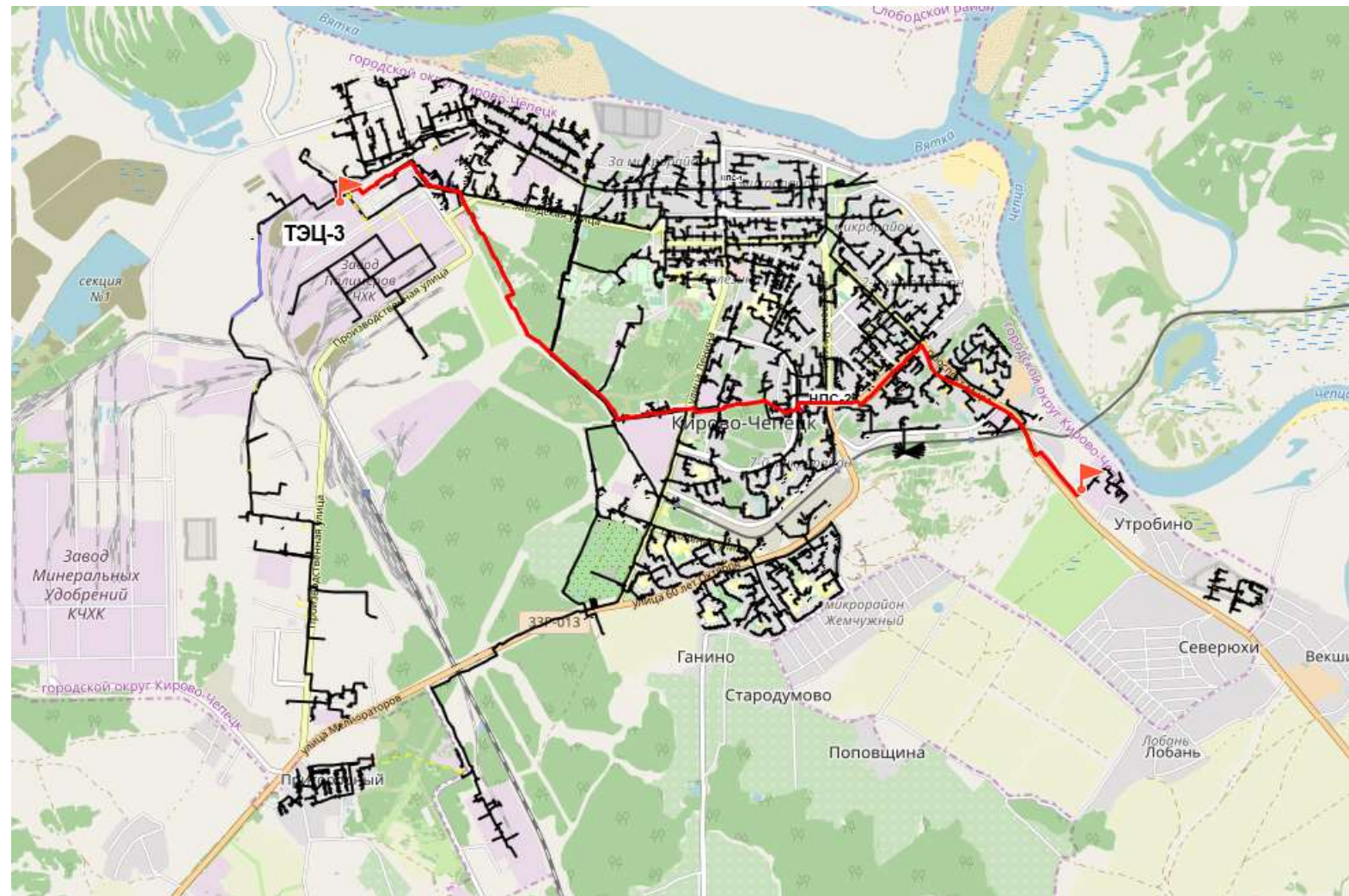


Рисунок 9 – Путь движения теплоносителя от источника тепловой энергии до конечного потребителя, в зоне действия ТЭЦ №3 (водозабор) (рисунок П46.1 МУ)

Номер участка пути	Начальная камера участка	Конечная камера участка	Диаметр трубопровода на участке, м	Длина трубопровода на участке, км	Год прокладки трубопровода	Тип прокладки (1-надземная; 2-подземная)	Продолжительность эксплуатации участка без капитального ремонта (реконструкции), лет	Частота (интенсивность) отказа участка, 1/час	Среднее время восстановления участка, час	Параметр потока отказов теплоснабжения при отказе участка, 1/час	Параметр потока отказов теплоснабжения накопленным итогом, 1/час	Вероятность безотказной работы пути относительно конечного потребителя
		сторону ТК 5-11										
42	перемычка в сторону ТК 5-11	III-41 III-42 ТК 5-12	0,5	0,00079	1989	2	44	0,0000226	26,6	0	0,000146	0,995514
43	III-41 III-42 ТК 5-12	TK 5-12	0,5	0,00063	1989	2	44	0,0000226	26,6	0	0,000146	0,995514
44	TK 5-12	TK 5-13	0,414	0,123	1989	2	44	0,0000226	23,3	0,0000028	0,0001488	0,995452
45	TK 5-13	TK 5-14	0,414	0,092	1989	2	44	0,0000226	23,3	0,0000021	0,0001509	0,995405
46	TK 5-14	TK 5-15	0,414	0,111	1989	2	44	0,0000226	23,3	0,0000025	0,0001534	0,995349
47	TK 5-15	TK 5-16	0,414	0,058	1989	2	44	0,0000226	23,3	0,0000013	0,0001547	0,995320
48	TK 5-16	TK 5-17	0,309	0,212	1984	2	49	0,0000226	17,5	0,0000048	0,0001595	0,995239
49	TK 5-17	III-43 III-44 Уз. TK 5-17	0,3	0,001	1989	2	44	0,0000226	17,3	0	0,0001595	0,995239
50	III-43 III-44 Уз. TK 5-17	TK 5-18	0,309	0,212	1989	2	44	0,0000226	17,2	0,0000048	0,0001643	0,995160
51	TK 5-18	TK 5-19	0,309	0,13	1989	2	44	0,0000226	17,2	0,0000029	0,0001672	0,995111
52	TK 5-19	TK 5-20A	0,309	0,10066	1989	2	44	0,0000226	17,2	0,0000023	0,0001695	0,995074
53	TK 5-20A	TK 5-20	0,1	0,00634	1989	2	44	0,0000226	6,7	0,0000001	0,0001696	0,995073
54	TK 5-20	З/а в TK 5-20 Секц.	0,1	0,00133	1989	2	44	0,0000226	6,7	0	0,0001696	0,995073
55	З/а в TK 5-20 Секц.	Тк 5-20 см.диам.- т.А	0,1	0,03	1989	2	44	0,0000226	6,7	0,0000007	0,0001703	0,995068
56	Тк 5-20 см.диам.- т.А	т.А(подъем)- см.д. TK 5-22	0,207	0,194	1989	2	44	0,0000226	11,9	0,0000044	0,0001747	0,995018
57	т.А(подъем)- см.д. TK 5-22	TK 5-22 Водозабор	0,15	0,614	1989	1	44	0,0000226	8,8	0,0000139	0,0001886	0,994901
58	TK 5-22 Водозабор	гаражный кооператив	0,05	0,02491	1984	1	49	0,0000226	4,6	0,0000006	0,0001892	0,994898

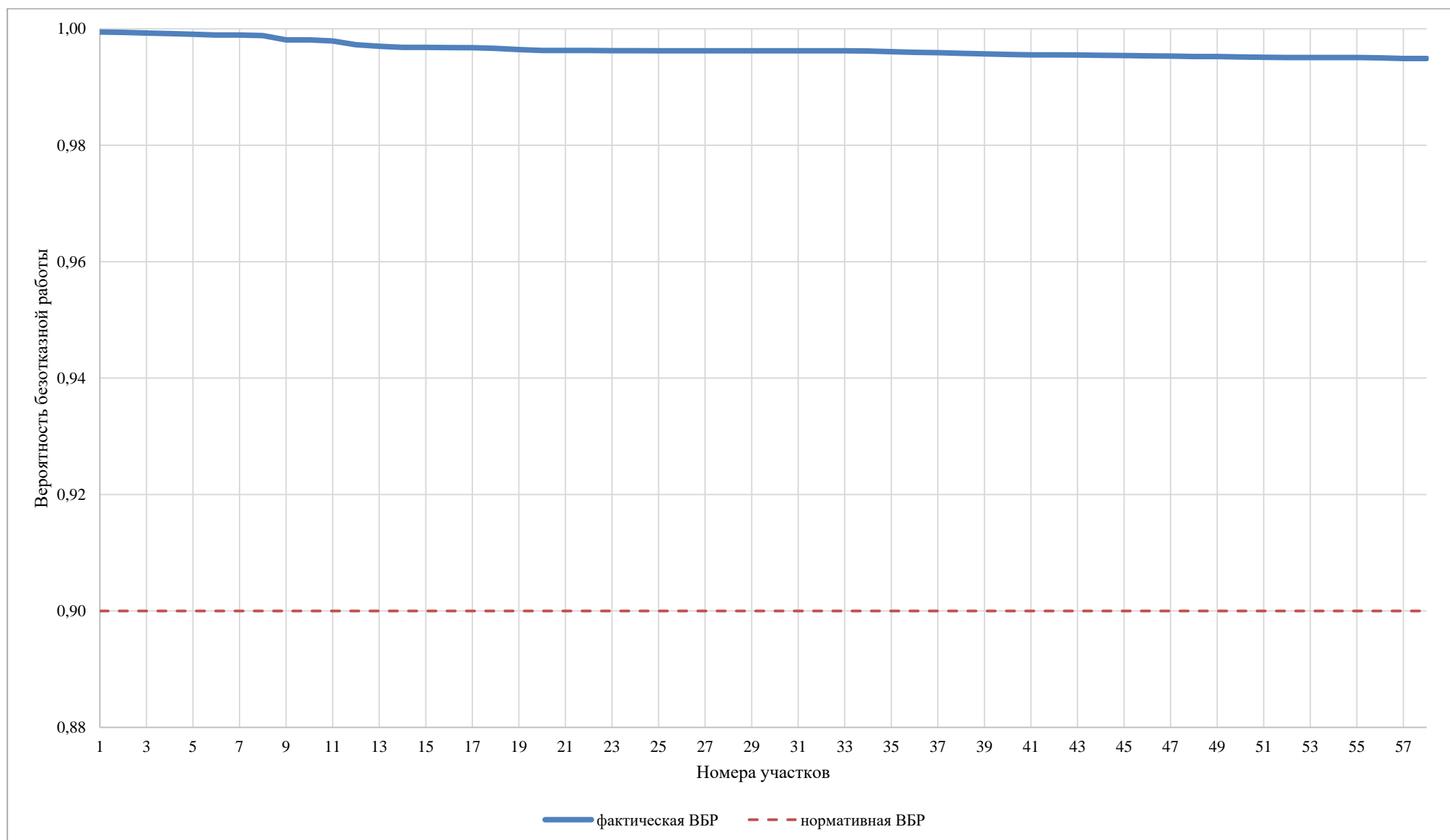


Рисунок 10 – Сравнительный анализ нормативной и фактической ВБР по пути движения теплоносителя, в зоне действия ТЭЦ №3 (водозабор)
(рисунок П46.2 МУ)

4.1.5. Центральная часть

Результаты расчета показателей надежности теплоснабжения, сформированные в соответствии с Приложением 46 МУ, по методике расчета, изложенной в Приложении 18 МУ, представлены на рисунках и в таблице ниже.

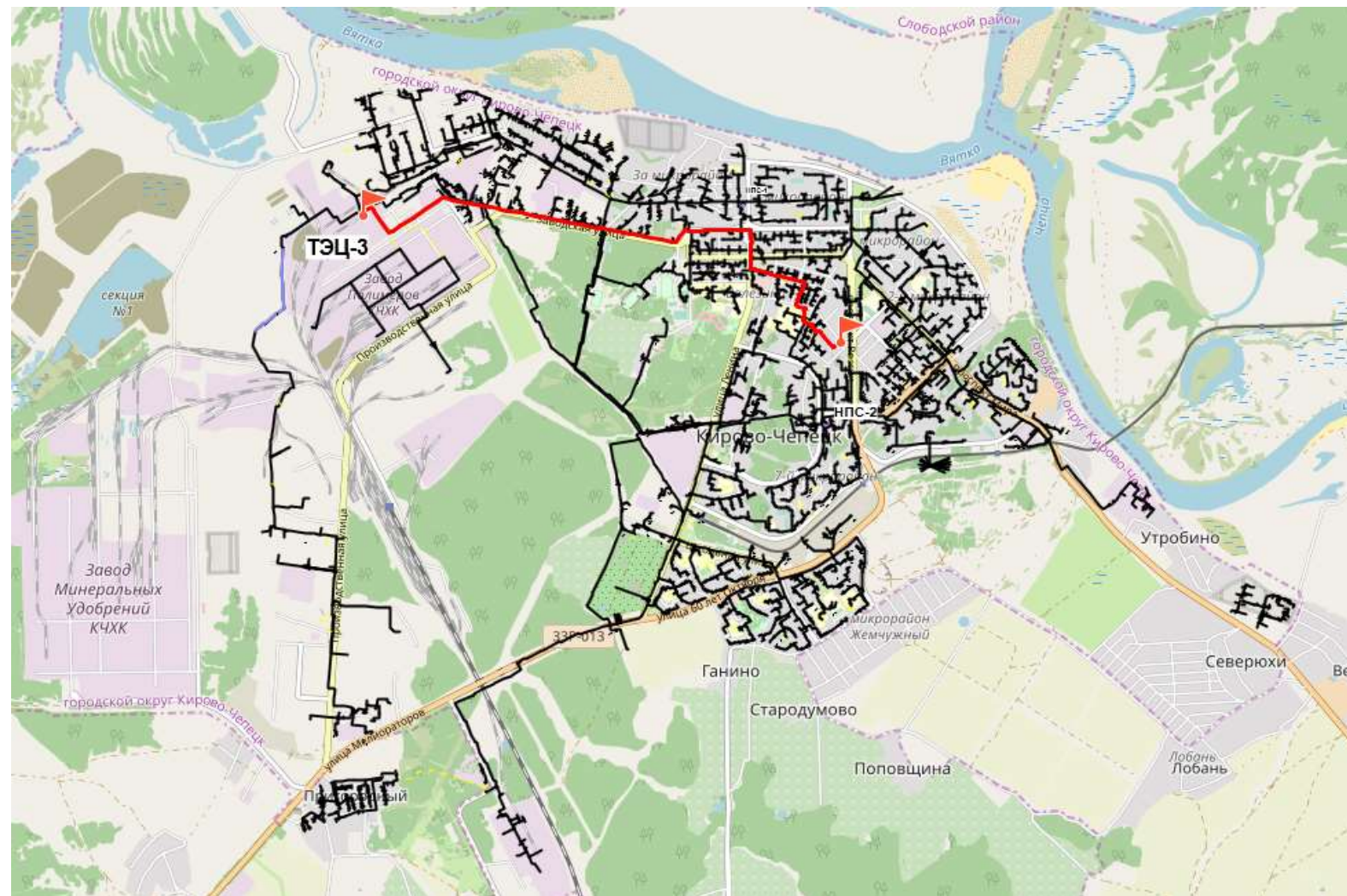


Рисунок 11 – Путь движения теплоносителя от источника тепловой энергии до конечного потребителя, в зоне действия ТЭЦ №3 (центральная часть) (рисунок П46.1 МУ)

ОБОСНОВЫВАЮЩИЕ МАТЕРИАЛЫ К СХЕМЕ ТЕПЛОСНАБЖЕНИЯ МО «ГОРОД КИРОВО-ЧЕПЕЦК» НА ПЕРИОД 2020-2033 ГГ.
ГЛАВА 11. ОЦЕНКА НАДЕЖНОСТИ ТЕПЛОСНАБЖЕНИЯ

Номер участка пути	Начальная камера участка	Конечная камера участка	Диаметр трубопровода на участке, м	Длина трубопровода на участке, км	Год прокладки трубопровода	Тип прокладки (1- надземная; 2-подземная)	Продолжительность эксплуатации участка без капитального ремонта (реконструкции), лет	Частота (интенсивность) отказа участка, 1/час	Среднее время восстановления участка, час	Параметр потока отказов теплоснабжения при отказе участка, 1/час	Параметр потока отказов теплоснабжения накопленным итогом, 1/час	Вероятность безотказной работы пути относительно конечного потребителя
83	Уз. 3-45в-1	Уз. 3-45в	0,15	0,026	1958	1	75	0,0000226	9,0	0,0000006	0,000101	0,997919
84	Уз. 3-45в	Уз. 3-45г	0,15	0,0436	1958	1	75	0,0000226	9,0	0,000001	0,000102	0,997910
85	Уз. 3-45г	Уз. 3-45г-1	0,15	0,0276	1958	1	75	0,0000226	9,0	0,0000006	0,0001026	0,997905
86	Уз. 3-45г-1	Уз. 3-45г-1	0,15	0,012	1958	2	75	0,0000226	9,0	0,0000003	0,0001029	0,997903
87	Уз. 3-45г-1	ТК 3-45д	0,15	0,02	1958	2	75	0,0000226	9,0	0,0000005	0,0001034	0,997899
88	ТК 3-45д	Уз 3-46	0,15	0,12	1958	1	75	0,0000226	9,0	0,0000027	0,0001061	0,997875
89	Уз 3-46	ТК 3-47	0,15	0,0486	1958	1	75	0,0000226	9,0	0,0000011	0,0001072	0,997866
90	ТК 3-47	I-33 I-34 от Уз. 3-47	0,15	0,00116	1958	1	75	0,0000226	9,0	0	0,0001072	0,997866
91	I-33 I-34 от Уз. 3-47	Уз 3-47а	0,125	0,014	1958	1	75	0,0000226	7,9	0,0000003	0,0001075	0,997863
92	Уз 3-47а	3/a I-33,34 от Уз 3-47а к ТК 3-48	0,125	0,00141	1958	1	75	0,0000226	7,9	0	0,0001075	0,997863
93	3/a I-33,34 от Уз 3-47а к ТК 3-48	TK 3-48	0,125	0,06	1958	2	75	0,0000226	7,9	0,0000014	0,0001089	0,997853
94	TK 3-48	3/a в TK 3-48	0,125	0,00123	1958	1	75	0,0000226	7,9	0	0,0001089	0,997853
95	3/a в TK 3-48	Уз 3-48а	0,125	0,04	1958	1	75	0,0000226	7,9	0,0000009	0,0001098	0,997846
96	Уз 3-48а	TK 3-49	0,125	0,04	1958	2	75	0,0000226	7,9	0,0000009	0,0001107	0,997839
97	TK 3-49	3/a в TK 3-49	0,082	0,00148	1958	1	75	0,0000226	5,9	0	0,0001107	0,997839
98	3/a в TK 3-49	Уз 3-49-2	0,08	0,046	1958	1	75	0,0000226	5,8	0,000001	0,0001117	0,997833
99	Уз 3-49-2	Уз 3-49-4	0,082	0,036	1958	1	75	0,0000226	5,9	0,0000008	0,0001125	0,997828
100	Уз 3-49-4	TK 3-49-6	0,08	0,061	1958	1	75	0,0000226	5,8	0,0000014	0,0001139	0,997821
101	TK 3-49-6	TK 3-49-8	0,08	0,043	1958	1	75	0,0000226	5,8	0,000001	0,0001149	0,997815
102	TK 3-49-8	3/a в TK 3-49-8 к Кооперативной	0,05	0,00107	1958	1	75	0,0000226	4,6	0	0,0001149	0,997815
103	3/a в TK 3-49-8 к Кооперативной	Уз 3-49-8-1	0,05	0,04381	1958	1	75	0,0000226	4,6	0,000001	0,0001159	0,997811
104	Уз 3-49-8-1	жилой дом	0,04	0,01544	1958	1	75	0,0000226	4,2	0,0000003	0,0001162	0,997809

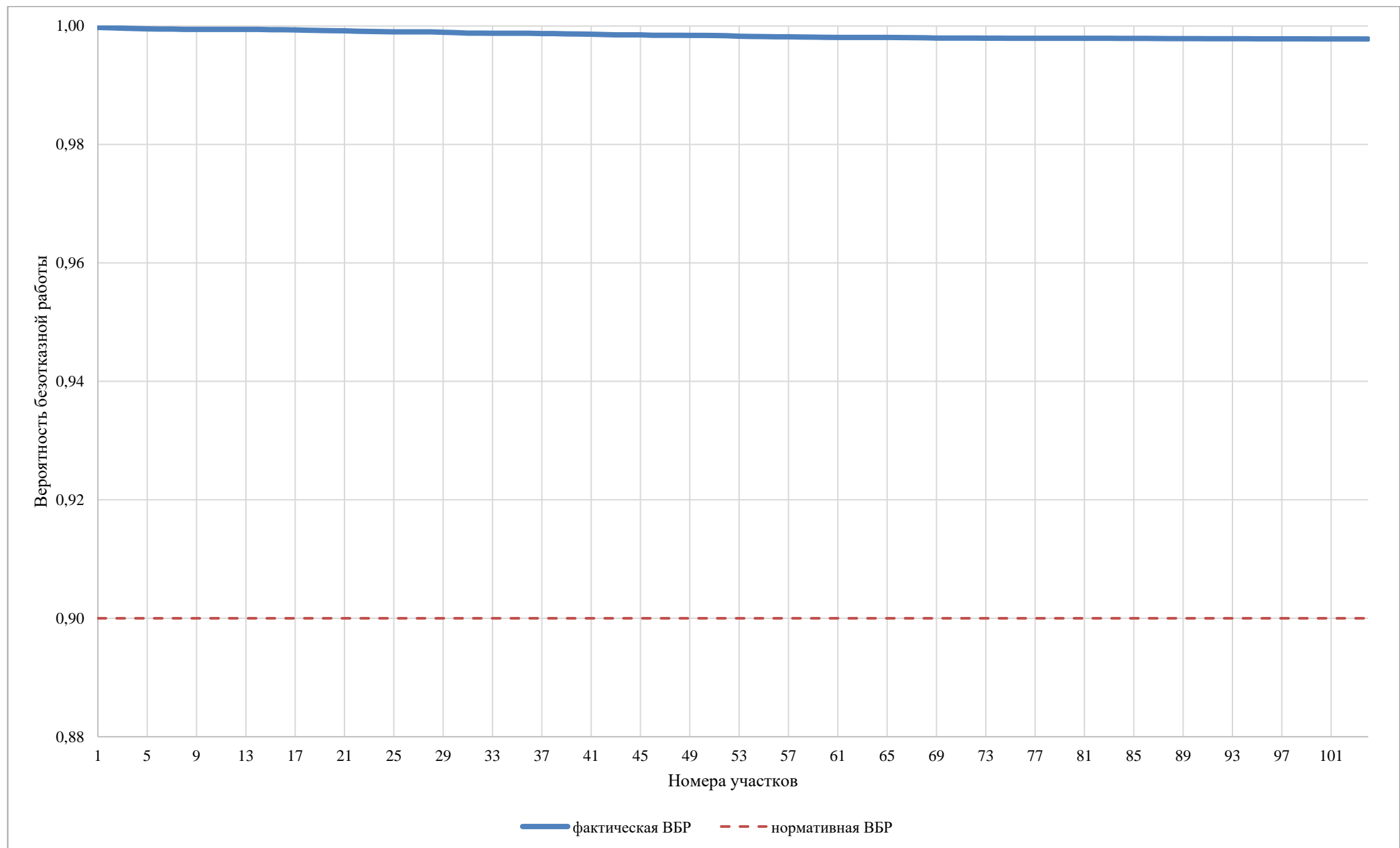


Рисунок 12 – Сравнительный анализ нормативной и фактической ВБР по путям движения теплоносителя, в зоне действия ТЭЦ №3
(центральная часть) (рисунок П46.2 МУ)

4.1.6. 10 микрорайон

Результаты расчета показателей надежности теплоснабжения, сформированные в соответствии с Приложением 46 МУ, по методике расчета, изложенной в Приложении 18 МУ, представлены на рисунках и в таблице ниже.

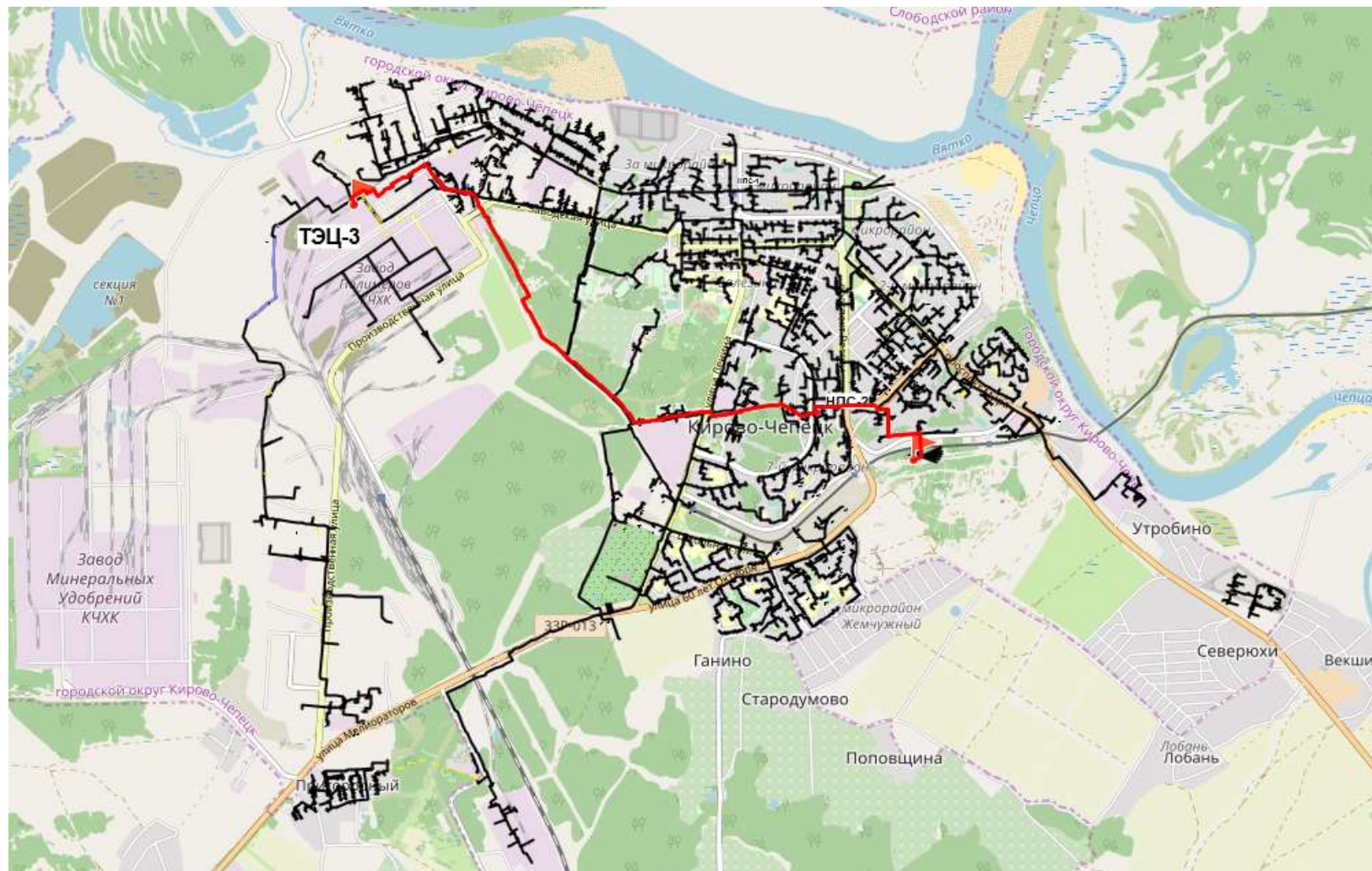


Рисунок 13 – Путь движения теплоносителя от источника тепловой энергии до конечного потребителя, в зоне действия ТЭЦ №3 (в сторону 10 микрорайона) (рисунок П46.1 МУ)

Таблица 8 - Результаты расчета вероятности безотказной работы теплопроводов зоны ТЭЦ №3(10 микрорайон) единой теплоснабжающей организации №01, при поэтапной реконструкции участков тепловой сети, осуществляющейся за период до 2033 года (таблица П46.1 МУ)

Номер участка пути	Начальная камера участка	Конечная камера участка	Диаметр трубопровода на участке, м	Длина трубопровода на участке, км	Год прокладки трубопровода	Тип прокладки (1- надземная; 2-подземная)	Продолжительность эксплуатации участка без капитального ремонта (реконструкции), лет	Частота (интенсивность) отказа участка, 1/час	Среднее время восстановления участка, час	Параметр потока отказов теплоснабжения при отказе участка, 1/час	Параметр потока отказов теплоснабжения накопленным итогом, 1/час	Вероятность безотказной работы путем относительно конечного потребителя
1	ТЭЦ	7TK-4	0,7	0,779	1977	1	56	0,0000226	32,9	0,0000176	0,0000176	0,99444
2	7TK-4	7TK-5	0,7	0,0927	1977	2	56	0,0000226	32,9	0,0000021	0,0000197	0,99378
3	7TK-5	7TK-6	0,7	0,162	1977	2	56	0,0000226	32,9	0,0000037	0,0000234	0,99262
4	7TK-6	7TK-7	0,7	0,1193	1977	2	56	0,0000226	32,9	0,0000027	0,0000261	0,99177
5	7TK-7	7TK-8	0,7	0,157	1977	1	56	0,0000226	32,9	0,0000035	0,0000296	0,99065
6	7TK-8	7TK-9a	0,7	0,1755	1977	2	56	0,0000226	32,9	0,000004	0,0000336	0,98940
7	7TK-9a	7TK-9	0,7	0,0065	1977	2	56	0,0000226	32,9	0,0000001	0,0000337	0,98935
8	7TK-9	Уз. 7НО-10	0,7	0,147	1977	1	56	0,0000226	32,9	0,0000033	0,000037	0,98830
9	Уз. 7НО-10	III-1,2 в 7П- 1	0,7	1,068	1977	1	56	0,0000226	31,9	0,0000241	0,0000611	0,98092
10	III-1,2 в 7П- 1	7 Павильон 1	0,7	0,00264	1977	1	56	0,0000226	36,9	0,0000001	0,0000612	0,98090
11	7 Павильон 1	7 Павильон 1а	0,7	0,2181	1972	1	61	0,0000226	36,9	0,0000049	0,0000661	0,997915
12	7 Павильон 1а	7-НО- 23 Уз.Совхоз Чеп 1	0,7	0,823	1972	1	61	0,0000226	36,9	0,0000186	0,0000847	0,997257
13	7-НО- 23 Уз.Совхоз Чеп 1	7НО-25 ПАВ ЛЕПСЕ	0,7	0,331	1977	1	56	0,0000226	36,9	0,0000075	0,0000922	0,996992
14	7НО-25 ПАВ ЛЕПСЕ	7 павильон 2	0,7	0,218	1977	1	56	0,0000226	36,9	0,0000049	0,0000971	0,996818
15	7 павильон 2	3-9 3-10 в 7П-2 к ТК 5-01	0,5	0,00396	1981	2	52	0,0000226	27,9	0,0000001	0,0000972	0,996815
16	3-9 3-10 в 7П-2 к ТК 5-01	TK 5-01	0,5	0,058	1981	2	52	0,0000226	27,9	0,0000013	0,0000985	0,996780
17	TK 5-01	TK 5-02	0,5	0,036	1981	2	52	0,0000226	27,9	0,0000008	0,0000993	0,996758
18	TK 5-02	TK 5-02A	0,5	0,196	1981	2	52	0,0000226	27,9	0,0000044	0,0001037	0,996640
19	TK 5-02A	TK 5-03	0,5	0,334	1981	2	52	0,0000226	27,9	0,0000075	0,0001112	0,996438
20	TK 5-03	перемычка 5-04	0,515	0,23	1981	2	52	0,0000226	29,8	0,0000052	0,0001164	0,996289
21	перемычка 5-04	TK 5-04	0,5	0,00151	1981	2	52	0,0000226	29,4	0	0,0001164	0,996288
22	TK 5-04	III-23, 24 ТК 5-04	0,5	0,00072	1989	2	44	0,0000226	29,4	0	0,0001164	0,996288
23	III-23, 24 ТК 5-04	TK 5-05	0,515	0,067	1989	2	44	0,0000226	30,2	0,0000015	0,0001179	0,996244
24	TK 5-05	Уз. НПС-2-1	0,5	0,01551	1989	2	44	0,0000226	29,3	0,0000003	0,0001182	0,996234
25	Уз. НПС-2-1	Уз. НПС-2-2	0,5	0,00163	1989	2	44	0,0000226	29,3	0	0,0001182	0,996233
26	Уз. НПС-2-2	3-28 от Уз. НПС-2-6	0,5	0,0013	1989	1	44	0,0000113	29,3	0	0,0001182	0,996232
27	3-28 от Уз. НПС-2-6	Клапан подпора	0,5	0,00144	1989	1	44	0,0000113	29,3	0	0,0001182	0,996232
28	Клапан подпора	НПС-2 понизительная группа	0,25	0,00574	1989	1	44	0,0000113	14,4	0,0000001	0,0001183	0,996231
29	НПС-2 понизительная группа	3-30 от Уз. НПС-2-3	0,25	0,00798	1989	1	44	0,0000113	14,4	0,0000001	0,0001184	0,996230
30	3-30 от Уз. НПС-2-3	Уз. НПС-2-4	0,5	0,00151	1989	1	44	0,0000113	29,4	0	0,0001184	0,996229
31	Уз. НПС-2-4	Уз. НПС-2-5	0,5	0,00113	1989	1	44	0,0000226	29,4	0	0,0001184	0,996229
32	Уз. НПС-2-5	Клапан рассечки	0,5	0,00113	1989	1	44	0,0000226	29,4	0	0,0001184	0,996228
33	Клапан рассечки	Уз. НПС-2-6	0,5	0,00115	1989	1	44	0,0000226	29,4	0	0,0001184	0,996227
34	Уз. НПС-2-6	TK 5-05a	0,515	0,05083	1989	2	44	0,0000226	30,2	0,0000011	0,0001195	0,996194
35	TK 5-05a	TK 5-06	0,5	0,2266	1989	2	44	0,0000226	26,6	0,0000051	0,0001246	0,996063
36	TK 5-06	TK 5-07	0,5	0,181	1989	2	44	0,0000226	26,6	0,0000041	0,0001287	0,995959
37	TK 5-07	TK 5-08	0,5	0,093	1989	2	44	0,0000226	26,6	0,0000021	0,0001308	0,995905
38	TK 5-08	3/а в TK 5-08 к TK 22-1	0,3	0,00126	1996	2	37	0,0000226	17,3	0	0,0001308	0,995905
39	3/а в TK 5-08 к TK 22-1	TK 22-1	0,309	0,1158	1996	2	37	0,0000226	17,0	0,0000026	0,0001334	0,995862

Номер участка пути	Начальная камера участка	Конечная камера участка	Диаметр трубопровода на участке, м	Длина трубопровода на участке, км	Год прокладки трубопровода	Тип прокладки (1-надземная; 2-подземная)	Продолжительность эксплуатации участка без капитального ремонта (реконструкции), лет	Частота (интенсивность) отказа участка, 1/час	Среднее время восстановления участка, час	Параметр потока отказов теплоснабжения при отказе участка, 1/час	Параметр потока отказов теплоснабжения накопленным итогом, 1/час	Вероятность безотказной работы пути относительно конечного потребителя
40	TK 22-1	TK 22-2	0,309	0,01	1996	2	37	0,0000226	17,0	0,0000002	0,0001336	0,995858
41	TK 22-2	TK 22-3	0,309	0,1836	1996	2	37	0,0000226	17,0	0,0000041	0,0001377	0,995791
42	TK 22-3	TK 22-4	0,309	0,2546	1996	2	37	0,0000226	17,0	0,0000057	0,0001434	0,995697
43	TK 22-4	TK 22-5	0,309	0,0167	2002	2	31	0,0000226	17,0	0,0000004	0,0001438	0,995690
44	TK 22-5	узел	0,15	0,16989	2026	2	7	0,0000114	9,1	0,0000019	0,0001457	0,995674
45	узел	4 МКД	0,05	0,06678	2033	2	0	0,0000181	4,5	0,0000012	0,0001469	0,995668

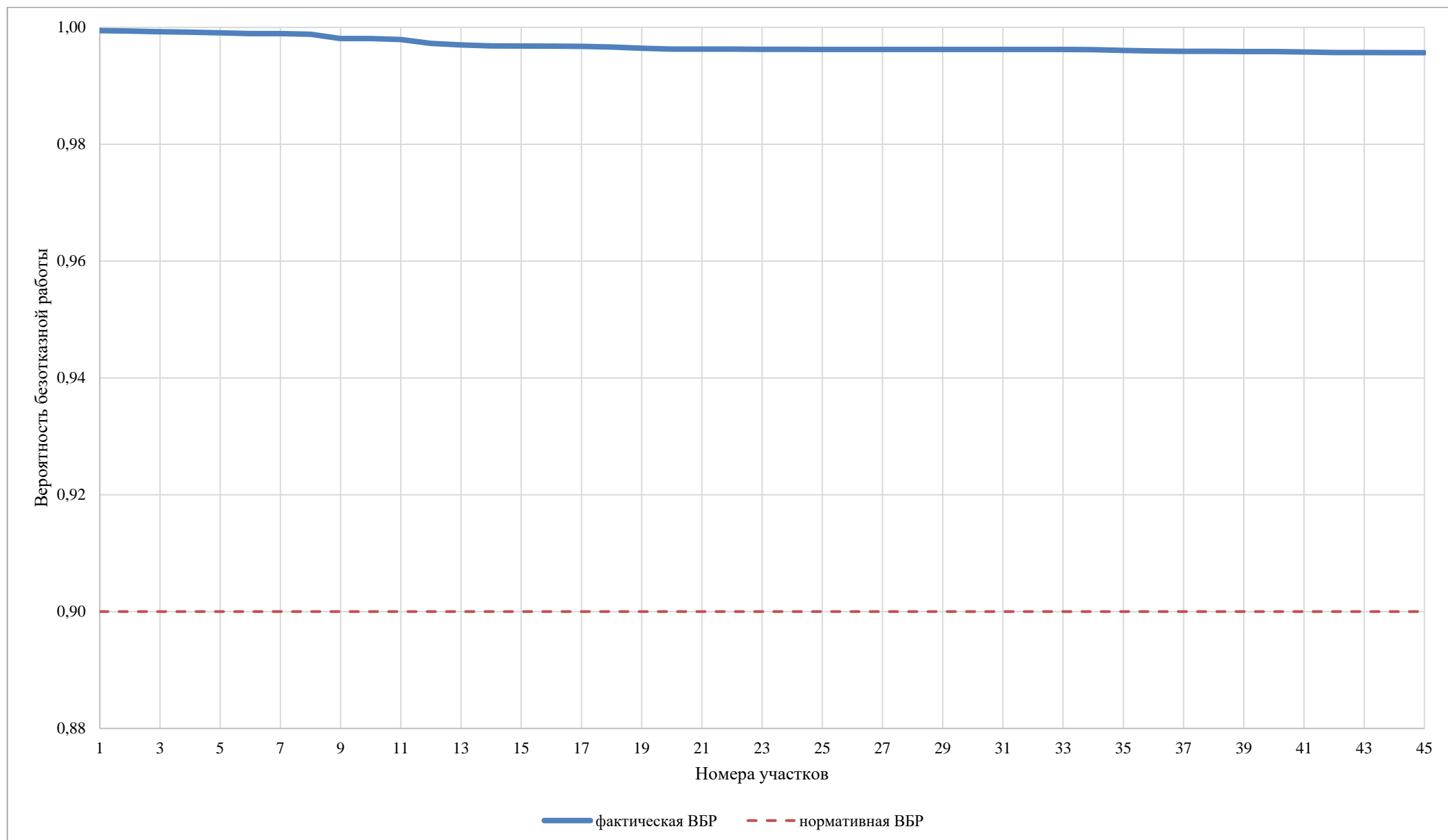


Рисунок 14 – Сравнительный анализ нормативной и фактической ВБР по пути движения теплоносителя, в зоне действия ТЭЦ №3 (10 микрорайон) (рисунок П46.2 МУ)

4.2. Котельная Каринторф

Результаты расчета показателей надежности теплоснабжения, сформированные в соответствии с Приложением 46 МУ, по методике расчета, изложенной в Приложении 18 МУ, представлены на рисунках и в таблице ниже.

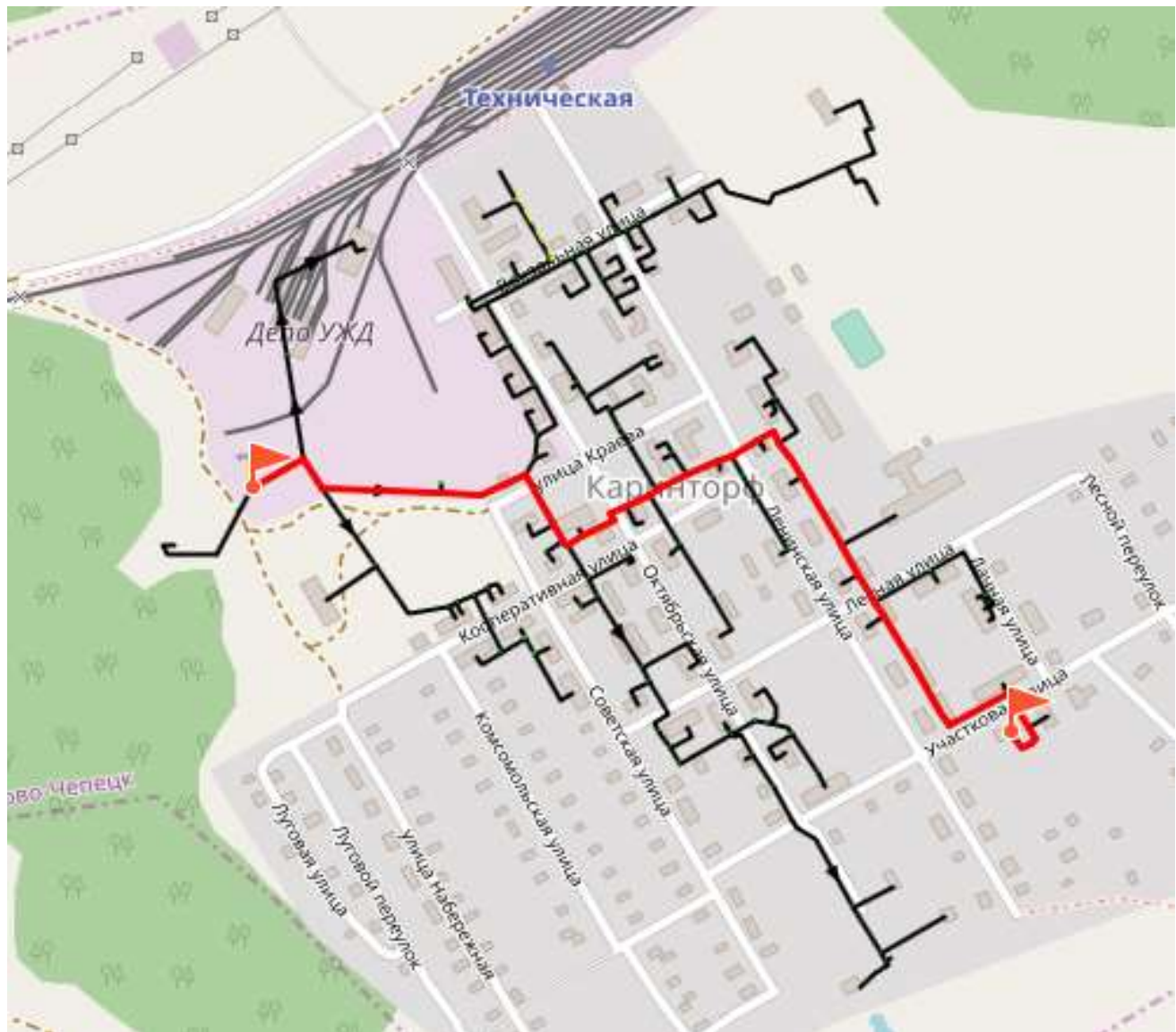


Рисунок 15 – Путь движения теплоносителя от источника тепловой энергии до конечного потребителя, в зоне действия котельной Каринторф (рисунок П46.1 МУ)

Таблица 9 - Результаты расчета вероятности безотказной работы теплопроводов зоны котельной Каринторф единой теплоснабжающей организации №02, при поэтапной реконструкции участков тепловой сети, осуществляемой за период до 2033 года (таблица П46.1 МУ)

Номер участка пути	Начальная камера участка	Конечная камера участка	Диаметр трубопровода на участке, м	Длина трубопровода на участке, км	Год прокладки трубопровода	Тип прокладки (1-надземная; 2-подземная)	Продолжительность эксплуатации участка без капитального ремонта (реконструкции), лет	Частота (интенсивность) отказа участка, 1/час	Среднее время восстановления участка, час	Параметр потока отказов теплоснабжения при отказе участка, 1/час	Параметр потока отказов теплоснабжения накопленным итогом, 1/час	Вероятность безотказной работы пути относительно конечного потребителя
1	Котельная	У-13	0,309	0,0533	1995	1	38	0,0000226	17,6	0,0000012	0,0000012	0,999979
2	У-13	У-13**	0,309	0,0422	1999	1	34	0,0000226	17,6	0,000001	0,0000022	0,999962
3	У-13**	У-17	0,259	0,0895	1988	2	45	0,0000226	14,6	0,000002	0,0000042	0,999933
4	У-17	У-20	0,259	0,045	1988	2	45	0,0000226	14,6	0,000001	0,0000052	0,999918
5	У-20	У-21	0,259	0,0512	1988	2	45	0,0000226	14,6	0,0000012	0,0000064	0,999901
6	У-21	У-47	0,259	0,0728	1988	2	45	0,0000226	14,6	0,0000016	0,000008	0,9998768
7	У-47	У-48	0,259	0,019	1988	2	45	0,0000226	14,6	0,0000004	0,0000084	0,9998705
8	У-48	У-53	0,259	0,014	1988	2	45	0,0000226	14,6	0,0000003	0,0000087	0,9998659
9	У-53	У-85	0,207	0,019	2008	1	25	0,0000226	12,1	0,0000004	0,0000091	0,9998607
10	У-85	У-86	0,209	0,006	2008	1	25	0,0000226	12,1	0,0000001	0,0000092	0,9998591
11	У-86	У-87	0,209	0,067	2008	1	25	0,0000226	12,1	0,0000015	0,0000107	0,9998408
12	У-87	У-88*	0,209	0,015	2008	1	25	0,0000226	12,1	0,0000003	0,000011	0,9998367
13	У-88*	У-92	0,209	0,01	2008	1	25	0,0000226	12,1	0,0000002	0,0000112	0,999834
14	У-92	У-91	0,15	0,015	2008	1	25	0,0000226	8,9	0,0000003	0,0000115	0,999831
15	У-91	У-98*	0,15	0,02	2008	1	25	0,0000226	8,9	0,0000005	0,000012	0,999827
16	У-98*	У-98	0,15	0,035	2008	1	25	0,0000226	8,9	0,0000008	0,0000128	0,9998199
17	У-98	У-99*	0,15	0,01	2008	1	25	0,0000226	8,9	0,0000002	0,000013	0,9998179
18	У-99*	У-103	0,15	0,035	2008	1	25	0,0000226	8,9	0,0000008	0,0000138	0,9998108
19	У-103	У-105	0,15	0,02	2008	1	25	0,0000226	8,9	0,0000005	0,0000143	0,9998068
20	У-105	У-104	0,15	0,0545	2008	1	25	0,0000226	8,9	0,0000012	0,0000155	0,9997958
21	У-104	У-105*	0,15	0,083	2008	1	25	0,0000226	8,9	0,0000019	0,0000174	0,9997791
22	У-105*	узел	0,15	0,01	2008	1	25	0,0000226	8,9	0,0000002	0,0000176	0,9997771
23	узел	У-106	0,15	0,058	2015	1	18	0,000013	8,9	0,0000008	0,0000184	0,9997703
24	У-106	узел	0,15	0,022	2015	1	18	0,000013	8,9	0,0000003	0,0000187	0,9997677
25	узел	узел	0,15	0,014	2014	2	19	0,0000138	8,9	0,0000002	0,0000189	0,999766
26	узел	У-107	0,15	0,01	2015	1	18	0,000013	8,9	0,0000001	0,000019	0,9997648
27	У-107	У-110	0,125	0,0215	1985	2	48	0,0000226	7,9	0,0000005	0,0000195	0,999761
28	У-110	У-111	0,125	0,061	1985	2	48	0,0000226	7,9	0,0000014	0,0000209	0,9997502
29	У-111	У-112	0,125	0,053	1985	2	48	0,0000226	7,9	0,0000012	0,0000221	0,9997408
30	У-112	У-113	0,125	0,024	1985	2	48	0,0000226	7,9	0,0000005	0,0000226	0,9997365
31	У-113	У-121	0,1	0,071	2005	1	28	0,0000226	6,7	0,0000016	0,0000242	0,9997257
32	У-121	У-122	0,082	0,0604	2005	1	28	0,0000226	5,9	0,0000014	0,0000256	0,9997176
33	У-122	У-122*	0,082	0,0075	2005	1	28	0,0000226	5,9	0,0000002	0,0000258	0,9997166
34	У-122*	ж/д (Участковая, 4)	0,05	0,0297	2005	1	28	0,0000226	4,6	0,0000007	0,0000265	0,9997135

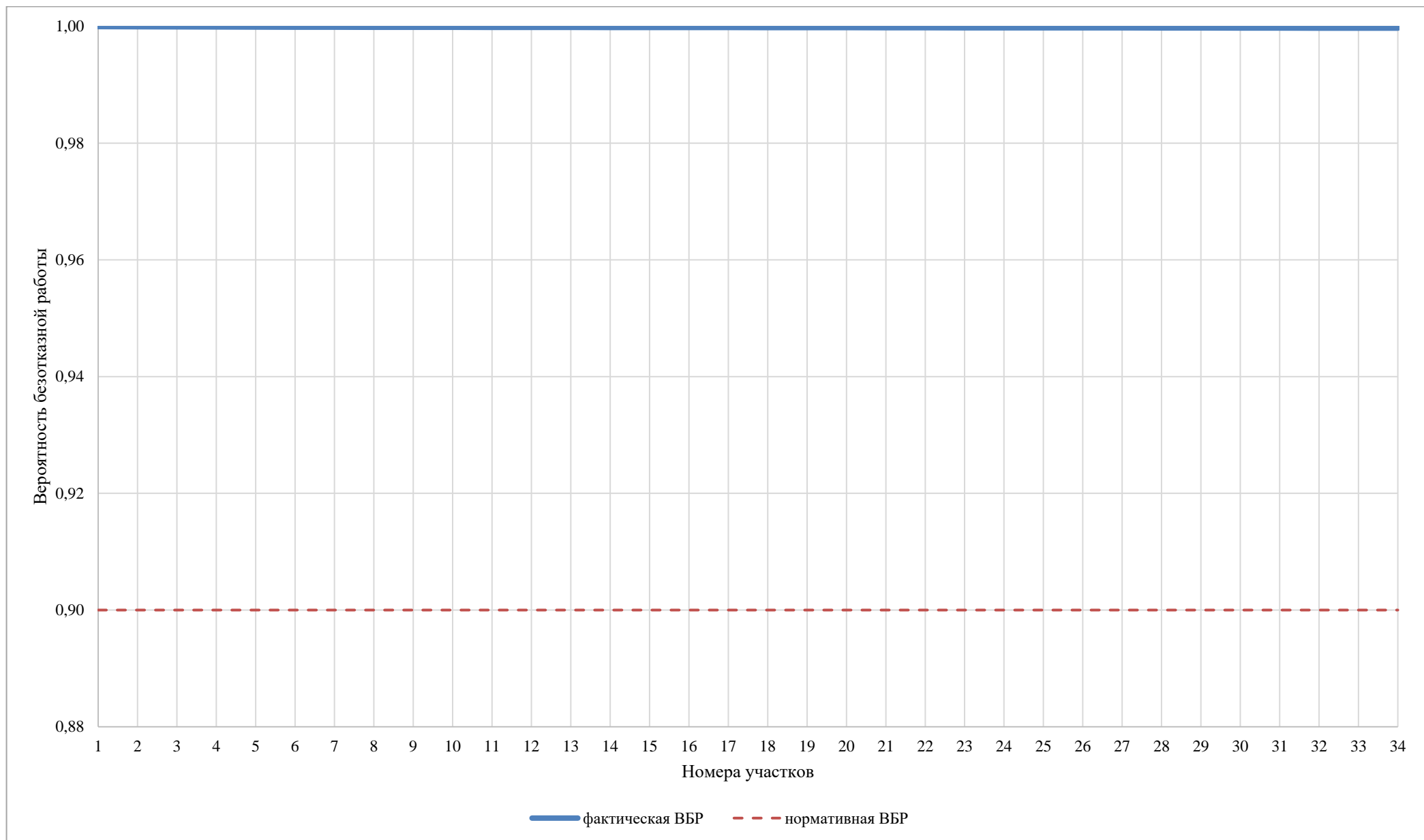


Рисунок 16 – Сравнительный анализ нормативной и фактической ВБР по пути движения теплоносителя, в зоне действия котельной Каринторф (рисунок П46.2 МУ)

4.3. Котельная ИК-11

Результаты расчета показателей надежности теплоснабжения, сформированные в соответствии с Приложением 46 МУ, по методике расчета, изложенной в Приложении 18 МУ, представлены на рисунках и в таблице ниже.



Рисунок 17 – Путь движения теплоносителя от источника тепловой энергии до конечного потребителя, в зоне действия котельной ИК-11 (рисунок П46.1 МУ)

Таблица 10 - Результаты расчета вероятности безотказной работы теплопроводов зоны котельной ИК-11 единой теплоснабжающей организации №03, при поэтапной реконструкции участков тепловой сети, осуществляемой за период до 2033 года (таблица П46.1 МУ)

Номер участка пути	Начальная камера участка	Конечная камера участка	Диаметр трубопровода на участке, м	Длина трубопровода на участке, км	Год прокладки трубопровода	Тип прокладки (1- надземная; 2-подземная)	Продолжительность эксплуатации участка без капитального ремонта (реконструкции), лет	Частота (интенсивность) отказа участка, 1/час	Среднее время восстановления участка, час	Параметр потока отказов теплоснабжения при отказе участка, 1/час	Параметр потока отказов теплоснабжения накопленным итогом, 1/час	Вероятность безотказной работы пути относительно конечного потребителя
1	Котельная ИК-11	Y-1	0,15	0,002	1997	1	36	0,0000226	9,1	0	0	1,000000
2	Y-1	Y-2	0,15	0,011	1997	1	36	0,0000226	9,1	0,0000002	0,0000002	0,999997
3	Y-2	Y-6	0,15	0,028	1997	1	36	0,0000226	9,1	0,0000006	0,0000008	0,999992
4	Y-6	узел	0,15	0,003	1997	1	36	0,0000226	9,0	0,0000001	0,0000009	0,999991
5	узел	Y-12	0,15	0,11	1997	1	36	0,0000226	9,0	0,0000025	0,0000034	0,999969
6	Y-12	Y-13	0,15	0,008	1997	1	36	0,0000226	9,1	0,0000002	0,0000036	0,999967
7	Y-13	Y-14	0,15	0,061	1997	1	36	0,0000226	9,1	0,0000014	0,000005	0,999954
8	Y-14	узел	0,1	0,002	1997	1	36	0,0000226	6,7	0	0,000005	0,999954
9	узел	Y-15	0,1	0,054	1997	1	36	0,0000226	6,7	0,0000012	0,0000062	0,999946
10	Y-15	Y-16	0,1	0,01	1997	1	36	0,0000226	6,7	0,0000002	0,0000064	0,999944
11	Y-16	узел	0,1	0,002	1997	1	36	0,0000226	6,7	0	0,0000064	0,999944
12	узел	Y-21	0,1	0,02	1997	1	36	0,0000226	6,7	0,0000005	0,0000069	0,999941
13	Y-21	Y-22	0,1	0,017	1997	1	36	0,0000226	6,7	0,0000004	0,0000073	0,999939
14	Y-22	Y-23	0,1	0,012	1997	1	36	0,0000226	6,7	0,0000003	0,0000076	0,999937
15	Y-23	Y-35	0,082	0,042	1997	1	36	0,0000226	5,9	0,0000009	0,0000085	0,999931
16	Y-35	Y-24	0,082	0,056	1997	1	36	0,0000226	5,9	0,0000013	0,0000098	0,999924
17	Y-24	Y-25	0,1	0,037	1997	1	36	0,0000226	6,7	0,0000008	0,0000106	0,999918
18	Y-25	Y-26	0,1	0,009	1997	1	36	0,0000226	6,7	0,0000002	0,0000108	0,999917
19	Y-26	Общежитие №4	0,082	0,09	1997	1	36	0,0000226	5,9	0,000002	0,0000128	0,999905

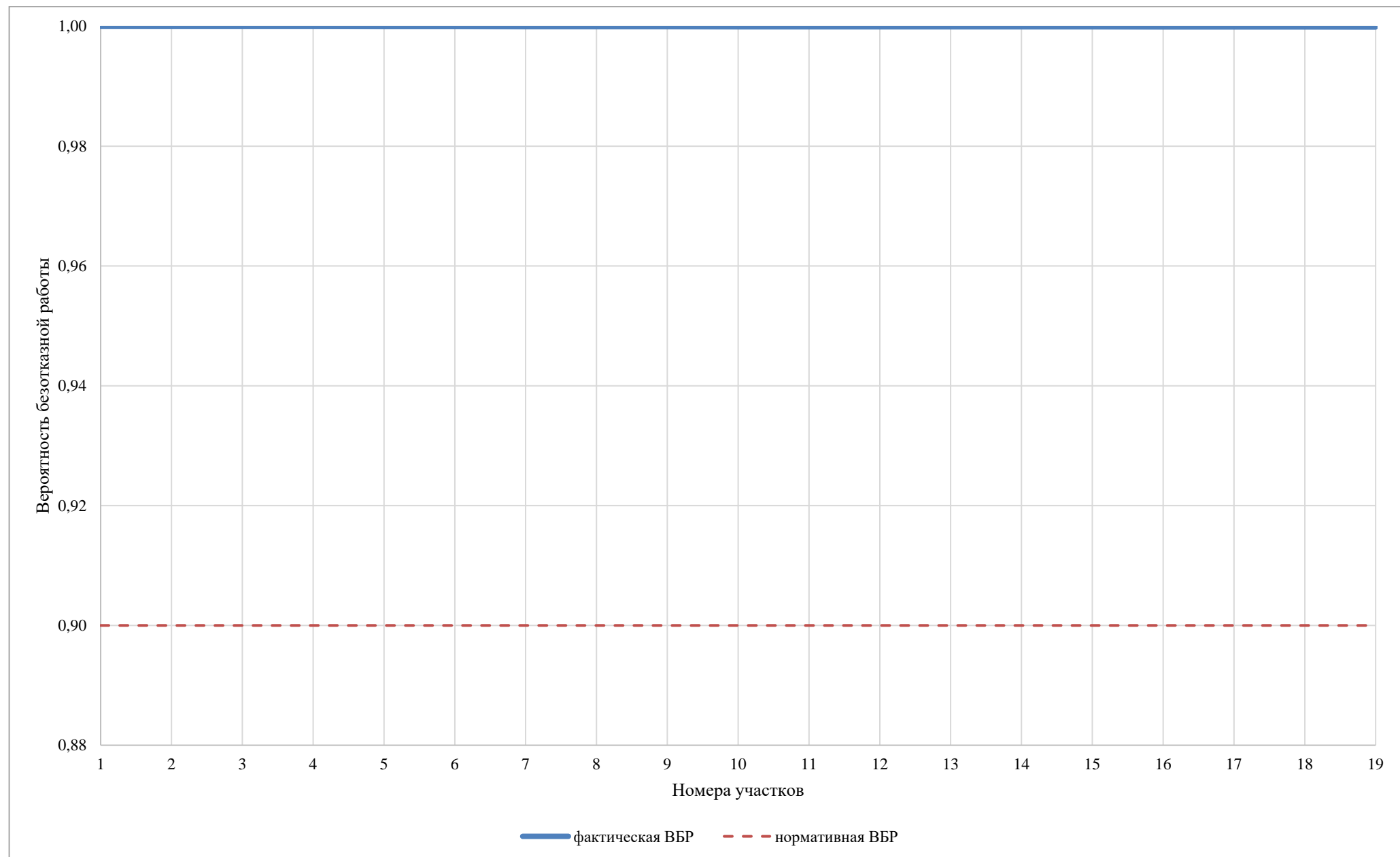


Рисунок 18 – Сравнительный анализ нормативной и фактической ВБР по пути движения теплоносителя, в зоне действия котельной ИК-11
(рисунок П46.2 МУ)

5. Обоснование результатов оценки коэффициентов готовности теплопроводов к несению тепловой нагрузки

Результаты расчета перспективных показателей вероятности безотказной работы систем теплоснабжения представлены в разделе 4. Поскольку вероятность безотказной работы ни по 1 источнику теплоснабжения не опускается ниже минимально допустимого значения, готовность теплопроводов к несению тепловой нагрузки будет также выше минимально допустимого значения 0,97.

6. Обоснование результатов оценки недоотпуска тепловой энергии по причине отказов (аварийных ситуаций) и простоев тепловых сетей и источников тепловой энергии

Приведенный объем годового недоотпуска тепла в результате нарушений в подаче тепловой энергии по состоянию на 2019 год составляет 5,12% от годового отпуска тепловой энергии на нужды отопления, вентиляции и горячего водоснабжения совокупного потребителя (при этом нарушениями в подаче тепловой энергии, считается необеспечение необходимых параметров качества теплоносителей, поддерживаемых на границе раздела тепловых сетей в соответствии с договорными условиями).

Ожидаемая динамика изменения показателя при условии реализации мероприятий, учтенных в Главах 7 и 8, приведена в таблице ниже.

Таблица 11 – Ожидаемая динамика изменения показателя при условии реализации мероприятий учтенных инвестиционной программой регулируемых организаций

2019 - 2025	2030	2033
От 5,12%, до 2,71%	От 2,71% до 1,29%	От 1,29% до 0,5%

Показатель является замещающим фактором по отношению к коэффициенту аварийности, который учитывает суммарное количество повреждений в сети вне зависимости от времени отключения потребительских систем (без учета сокращения фактического времени отключения системы теплоснабжения за счет использования резервных и временных линий подачи тепла и т.д.).

7. Предложения, обеспечивающие надежность систем теплоснабжения

7.1. Применение на источниках тепловой энергии рациональных тепловых схем с дублированными связями и новых технологий, обеспечивающих готовность энергетического оборудования

Технологические нарушения, произошедшие на ТЭЦ-3 и котельных за рассматриваемый период, не приводили к ограничению отпуска тепловой энергии и снижению качества теплоносителя. После выяснения причин в сжатые сроки принимались меры для устранения нарушений и дальнейшее восстановление заданного режима.

За последние 5 лет по данным ТСО отказов и аварий на источниках тепловой энергии не происходило.

На расчетный период, применение на ТЭЦ рациональных тепловых схем с дублированными связями не требуется. Мероприятия по развитию ТЭЦ, позволяющие поддерживать нормативную надежность теплоснабжения, представлены в Главе 7.

7.2. Установка резервного оборудования

Как показано в разделе «Обоснование перспективных балансов производства и потребления тепловой мощности источников тепловой энергии и теплоносителя и присоединенной тепловой нагрузки в каждой из систем теплоснабжения города» Главы 7, на всех энергоисточниках выдерживаются положительные значения аварийного резерва тепловой мощности «нетто», с учетом мероприятий по развитию ТЭЦ и котельных. Установка резервного оборудования на энергоисточниках, для покрытия тепловой нагрузки в аварийных режимах, не требуется.

7.3. Организация совместной работы нескольких источников тепловой энергии на единую тепловую сеть

Из числа котельных, находящихся на адекватном расстоянии от ТЭЦ-3, следует выделить котельную «Уралхим». В данном случае совместная работа ТЭЦ и котельной затруднительна преимущественно по причине ведомственной разобщенности производителей тепловой энергии.

7.4. Резервирование тепловых сетей смежных районов городского округа

Основными показателями надежности теплоснабжения потребителей являются показатели, определяемые числом нарушений в подаче тепловой энергии; приведенной продолжительностью прекращений подачи тепловой энергии; числом приведенных объемов недоотпуска тепла в результате нарушений в подаче тепловой энергии, что приводит к безотказной работе системы.

В ходе анализа характеристик и количества участков, предлагаемых к реконструкции с целью повышения надежности теплоснабжения выявлено, что все рассматриваемые участки уже включены в состав группы «реконструкция тепловых сетей в связи с исчерпанием эксплуатационного ресурса» Главы 8. Таким образом, за счет перекладки ветхих теплопроводов, включенных в указанную группу проектов, возможно соответствие в перспективе фактических показателей надежности установленным нормативам. Перечень мероприятий по повышению надежности представлен в Главе 8.

7.5. Устройство резервных насосных станций

Как показал анализ статистики отказов, основная доля отказов приходится на тепловые сети малых диаметров $D_y = 50 \div 200$ мм. При этом отказы на прочих элементах тепловой сети встречаются относительно нечасто. Следовательно, устройство резервных насосных станций не позволит существенно улучшить надежность теплоснабжения.

7.6. Установка баков-аккумуляторов

В соответствии с п. 11.24 СП 89.13330.2012 Котельные установки (актуализированная версия) СНиП II-35-76:

«11.24. В котельных для открытых систем теплоснабжения и для установок централизованных систем горячего водоснабжения, водоподогреватели которых выбраны по расчетным средним часовым нагрузкам, должны предусматриваться баки-аккумуляторы горячей воды, а для закрытых систем теплоснабжения - баки запаса подготовленной подпиточной воды.

Выбор вместимостей баков-аккумуляторов и баков-запаса производится в соответствии с СП 74.13330.

Для повышения надежности работы баков-аккумуляторов следует предусматривать:

- антакоррозионную защиту внутренней поверхности баков путем применения герметизирующих жидкостей, защитных покрытий или катодной защиты и защиту воды в них от аэрации;*
- заполнение баков только деаэрированной водой с температурой не выше 95 °C;*
- оборудование баков переливной и воздушной трубами; пропускная способность переливной трубы должна быть не менее пропускной способности труб, подводящих воду к баку;*
- конструкции опор на подводящих и отводящих трубопроводах бака-аккумулятора исключающие передачу усилий на стенки и днища бака от внешних трубопроводов и компенсирующие усилия, возникающие при осадке бака;*
- установку электрифицированных задвижек на подводе и отводе воды; все задвижки (кроме задвижек на сливе воды и герметика) должны быть вынесены из зоны баков;*
- оборудование баков- аккумуляторов аппаратурой для контроля за уровнем воды и герметика, сигнализацией и соответствующими блокировками;*
- устройство в зоне баков лотков для сбора, перелива и слива бака с последующим отводом охлажденной воды в канализацию»*

Повышению надежности функционирования систем теплоснабжения в определенной мере способствует применение теплогидоракумулирующих установок, наличие которых позволяет

оптимизировать тепловые и гидравлические режимы тепловых сетей, а также использовать аккумулирующие свойства отапливаемых зданий. Теплоинерционные свойства зданий учитываются МДС 41-6.2000 «Организационно-методические рекомендации по подготовке к проведению отопительного периода и повышению надежности систем коммунального теплоснабжения в городах и населенных пунктах РФ» при определении расчетных расходов на горячее водоснабжение при проектировании систем теплоснабжения из условий темпов остывания зданий при авариях.

Размещение баков-аккумуляторов горячей воды возможно как на источнике теплоты, так и в районах теплопотребления. При этом на источнике теплоты предусматриваются баки-аккумуляторы вместимостью не менее 25 % общей расчетной вместимости системы. Внутренняя поверхность баков защищается от коррозии, а вода в них - от аэрации, при этом предусматривается непрерывное обновление воды в баках.

Для открытых систем теплоснабжения, а также при отдельных тепловых сетях на горячее водоснабжение предусматриваются баки-аккумуляторы химически обработанной и деаэрированной подпиточной воды расчетной вместимостью, равной десятикратной величине среднечасового расхода воды на горячее водоснабжение.

В закрытых системах теплоснабжения на источниках теплоты мощностью 100 МВт и более предусматривается установка баков запаса химически обработанной и деаэрированной подпиточной воды вместимостью 3% объема воды в системе теплоснабжения, при этом обеспечивается обновление воды в баках.

Число баков независимо от системы теплоснабжения принимается не менее двух по 50% рабочего объема.

В системах центрального теплоснабжения (СЦТ) с теплопроводами любой протяженности от источника теплоты до районов теплопотребления допускается использование теплопроводов в качестве аккумулирующих емкостей.

Таким образом, структура систем теплоснабжения должна соответствовать их масштабности и сложности. Если надежность небольших систем обеспечивается при радиальных схемах тепловых сетей, не имеющих резервирования и узлов управления, то тепловые сети крупных систем теплоснабжения должны быть резервированными, а в местах сопряжения резервируемой и нерезервируемой частей тепловых сетей должны иметь автоматизированные узлы управления. Это позволяет преодолеть противоречие между «ненадежной» структурой тепловых сетей и требованиями к их надежности и обеспечить управляемость системы в нормальных, аварийных и послеаварийных режимах, а также подачу потребителям необходимых количеств тепловой энергии во время аварийных ситуаций.